3.4 กระบวนการเตรียม เซรามิกเลดเซอร์โคเนตไทเทเนต (PZT)

3.4.1 การเตรียมผงเลดเซอร์โคเนตไทเทเนต (PZT)

ในการทดลองนี้เลือกใช้เทคนิคการเตรียมแบบ Solid state reaction หรือ อาจเรียกว่า mixed oxide เนื่องจากสามารถทำการเตรียมได้ในปริมาณมากและทำการเตรียมผง PZT ด้วยวิธี แบบ Two Step ซึ่งมีการเตรียมสองขั้นตอนโดยเริ่มจาก การเตรียมผงเลดเซอร์โคเนต (PbZrO₃: PZ) จากสมการ 3.1 และเตรียมผงเลดเซอร์โคเนตไทเทเนตจากสมการ 3.2

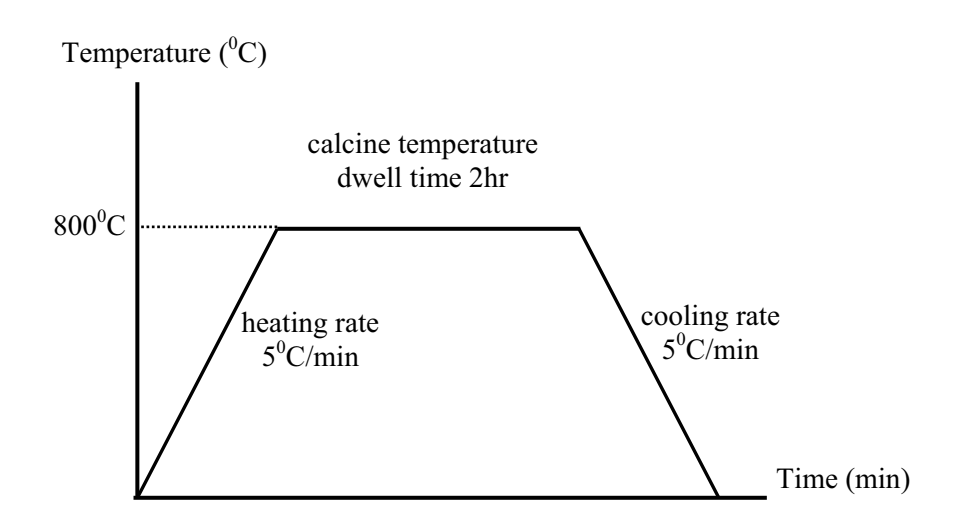
$$PbO + ZrO_2 \longrightarrow PbZrO_3 \tag{3.1}$$

$$0.52 PbZrO_3 + 0.48 PbO + 0.48 TiO_2 \longrightarrow Pb(Zr_{0.52} Ti_{0.48})O_3$$
 (3.2)

โดยเริ่มจากการเตรียมผง PZ ซึ่งสารด้วยเครื่องซึ่งแบบดิจิตอลความละเอียด 0.0001 มิลลิกรัม สามารถซั่งได้สูงสุดไม่เกิน 210 กรัม และผสมสารตั้งต้น กับตัวช่วยกระจาย (dispersing agent) โดยใช้เอทิลแอลกอฮอล์ หรือ เอธานอล เป็นตัวทำละลายเนื่องจาก เอธานอล ไม่ทำปฏิกิริยากับสารตั้งต้น และเป็นสารที่ระเหยง่าย หลังจากนั้น ทำการบรรจุสารละลายลงใน ภาชนะ ซึ่งเป็นกระป้องพลาสติก พร้อมกับใส่ลูกบดเซอร์โคเนีย (zirconia milling ball) ซึ่งมีขนาด เส้นผ่านศูนย์กลาง 3/8"x3/8" โดยใส่ประมาณ 1 ใน 3 ของ กระป้องแล้วปิดฝาให้สนิท จากนั้น นำไปวางบนโรล (roll) ของเครื่องบดผสมสารแบบ ball milling โดยมีมอเตอร์เป็นตัวหมุนแกน เหล็กด้วยความเร็ว 60 รอบต่อนาที ทำการ ball-mill เป็นเวลา 24 ชั่วโมง โดยใช้จังหวะการหมุนคือ หมุน 4 ชั่วโมง พัก 2 ชั่วโมง ทำจนครบการหมุน 24 ชั่วโมง เพื่อให้ลูกบดช่วยผสมสารตั้งต้นให้เข้า กันและกระจายตัวผสมกันอย่างสม่ำเสมอ เรียกวิธีการนี้ว่า wet ball-mill

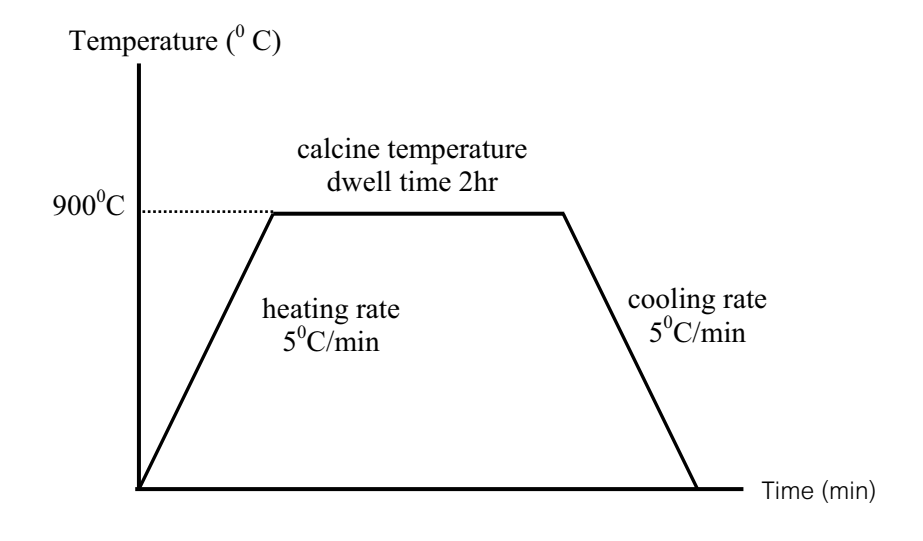
หลังจากนั้นนำสารละลายที่ได้ออกมาตั้งบนเตาแผ่นความร้อน (hot plate) พร้อมกับคน สารด้วย magnetic stirrer ไปด้วยจนเอธานอลระเหยออกจนหมด สารที่ได้จะมีลักษณะหมาดๆ นำสารละลายที่ได้เข้าอบที่ตู้อบอุณหภูมิ 105⁰ซ เป็นเวลา 24 ชั่วโมง เพื่อให้แน่ใจได้ว่าเอธานอลได้ ละเหยออกไปหมดแล้ว ซึ่งลักษณะของสารจะแห้งและจับตัวเป็นก้อน จากนั้นนำสารที่ได้มาบด ด้วยครกบดสาร (agate mortar) พร้อมกับร่อนด้วยตะแกรงในลอนเบอร์ 120 (≈80 ไมครอน) จากนั้นนำสารที่ได้ใส่ในถ้วยอะลูมินา (alumina crucible) พร้อมกับปิดฝา ซึ่งถ้วยอะลูมินานี้จะ

สามารถทนความร้อนได้สูงถึง 1600°ซ จากนั้นนำถ้วยที่บรรจุสารเข้าสู่กระบวนการแคลไซน์โดยใช้ เตาไฟฟ้าอุณหภูมิ 1500°ซ ซึ่งในการเผาแคลไซน์ ผงเลดเซอร์โคเนต ในการทดลองนี้ใช้อุณหภูมิ 800°ซ เป็นเวลา 2 ซั่งโมง โดยใช้อัตราการขึ้นลงของอุณหภูมิเท่ากับ 5°ซ ต่อนาที แผนผังการเผา แคลไซน์แสดงดังรูป 3.1



รูป 3.1 แผนผังการเผาแคลไซน์ผงPZ

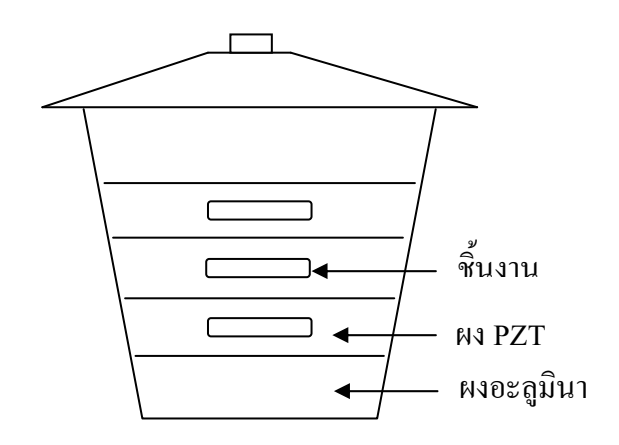
เมื่อได้ผงPZแล้ว ก็ทำการเตรียมผงPZTจากสมการ 3.2 โดยทำซ้ำทุกขั้นตอนเหมือน กับการ เตรียมผงPZโดยเปลี่ยนอุณหภูมิแคลไซน์เป็น 900⁰ช เป็นเวลา 2 ชั่งโมง โดยใช้อัตราการขึ้นลงของ อุณหภูมิเท่ากับ 5⁰ช ต่อนาที แผนผังการเผาแคลไซน์ผงPZTแสดงดังรูป 3.2



รูป 3.2 แผนผังการเผาแคลไซน์ ผง PZT

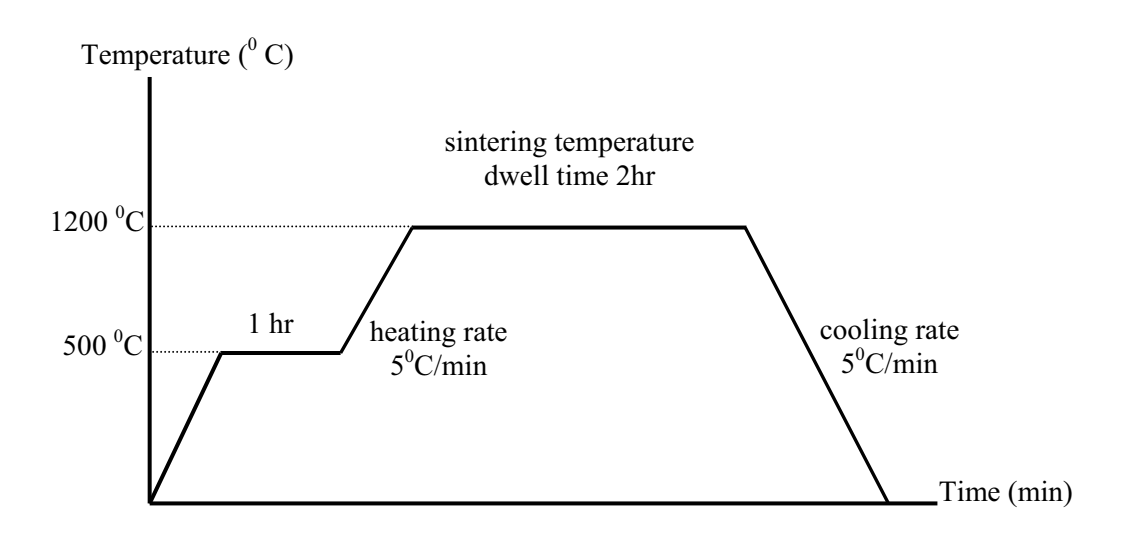
3.4.2 การเตรียมเซรามิกเลดเซอร์โคเนตไทเทเนต (PZT)

เมื่อได้ผงPZTที่มีปริมาณผลึกเพอรอฟสไกท์สูงสุดแล้วจะทำการทำการบดผสมผงPZT กับ สารละลาย PVAความเข้มข้นร้อยละ 3 โดยน้ำหนัก เป็นตัวช่วยในการอัดขึ้นรูปในอัตรา 1 หยดต่อ ผงPZT 1.5 กรัม จากนั้นอัดขึ้นรูปชิ้นงานด้วยเครื่องอัดไฮดรอลิก ด้วยแรง 1 ตัน เป็นเวลา 10 วินาที ในแม่พิมพ์โลหะที่มีลักษณะเป็นแผ่นกลม (dise) ซึ่งมีขนาดเส้นผ่าศูนย์กลาง 15 มิลลิเมตร จากนั้นนำชิ้นงานที่ผ่านการขึ้นรูปแล้ว (green body) มาจัดเรียงลงในถ้วยอะลูมินา และเนื่องจาก อุณหภูมิที่ใช้ในการเผาซินเตอร์นั้นสูงกว่าจุดหลอมเหลวของตะกั่วออกไซด์ (PbO) ดังนั้นเพื่อเป็น การช่วยป้องกันไม่ให้ตะกั่วออกไซด์ระเหยออกไปหรือระเหยออกไปน้อยที่สุด คือ ต้องเพิ่ม บรรยากาศของตะกั่วออกไซด์ เข้าไป โดยใช้วิธีการกลบชิ้นงานด้วยผงPZT ก่อนที่จะทำการปิดฝา ให้สนิท ดังแสดงในรูป 3.3



รูป 3.3 ลักษณะการจัดขึ้นงานสำหรับการเผาซินเตอร์

จากนั้นนำไปเผาซินเตอร์ด้วยอุณหภูมิ 1200°ซ เป็นเวลา 2 ชั่วโมงโดยใช้อัตราการขึ้นลง ของอุณหภูมิเท่ากับ 5°ซ ต่อนาที ดังแผนผังการเผาซินเตอร์ในรูป 3.4



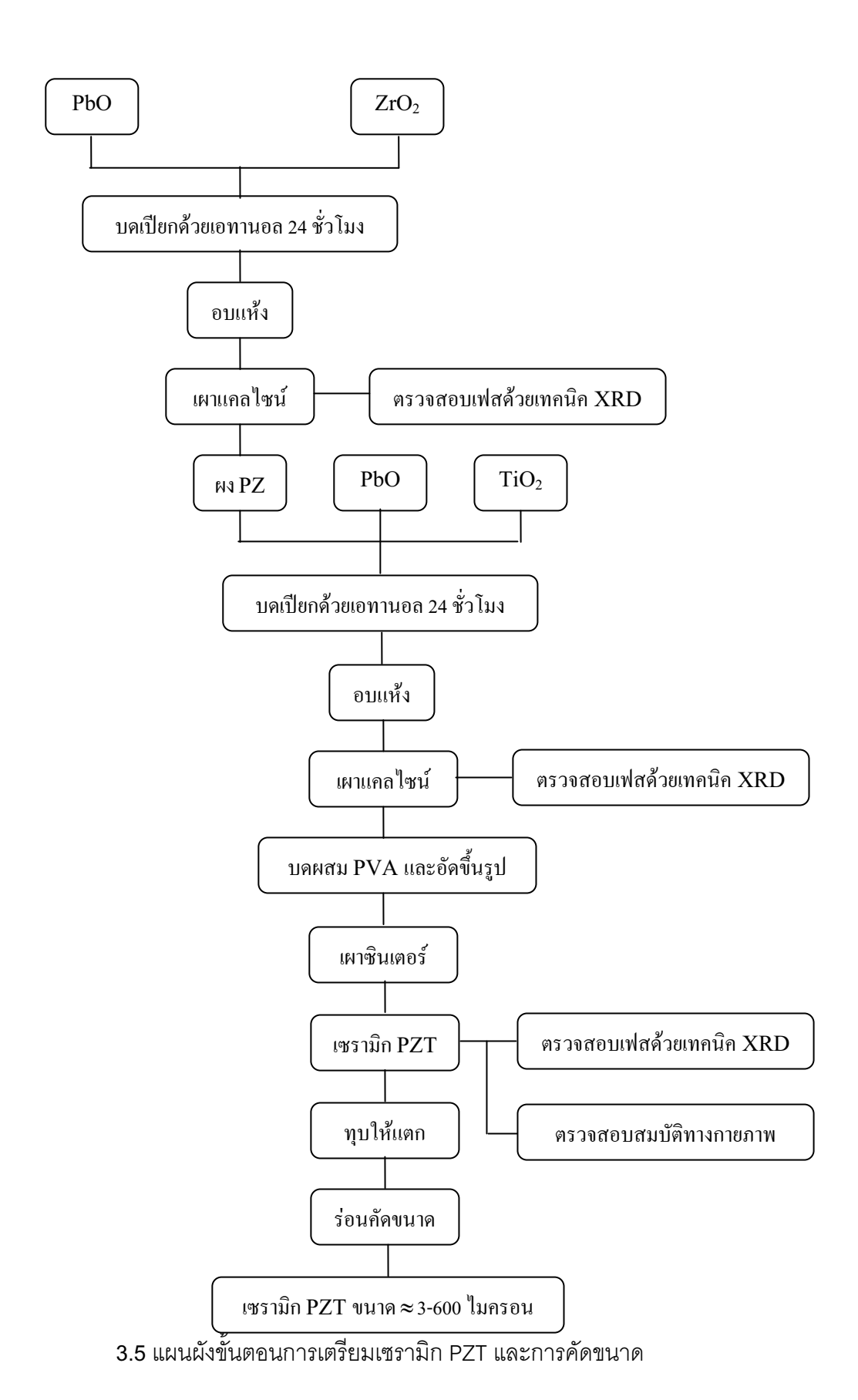
รูป 3.4 แผนผังการเผาซินเตอร์เซรามิกPZT

โดยจะต้องทำการเผาแช่ที่อุณหภูมิ 500° ซ เป็นเวลา 1 ชั่วโมงก่อนเพื่อทำการไล่ PVA ที่ใช้ ผสมผง PZT ในตอนต้น ซึ่งในการเผาซินเตอร์จะทำให้อะตอมของสารเกิดการแพร่เข้าหากันและ เชื่อม ติดกันแต่มิใช่การหลอมรวมกัน เกิดเป็นลักษณะของคอคอดที่เรียกว่า "เนค (neck)" และที่ อุณหภูมิสูงและเวลาที่นานพอจะทำให้เนค เกิดการโตขึ้น ส่งผลให้ช่องว่างภายในระหว่างเกรนนั้น ลดลงสงผลให้สารมีความหนาแน่นสูงขึ้น

3.4.3 การคัดขนาดผงเซรามิกเลดเซอร์โคเนตไทเทเนตโดยวิธีการ บด-ร่อน

เมื่อผง PZT ได้ผ่านกระบวนการซินเตอร์เป็นเม็ดเซรามิก PZT แล้ว จากนั้นทำการนำ เม็ด เซรามิก PZTมาขัดผิวหน้าเพื่อกำจัดสิ่งสกปรกที่ติดมา ด้วยกระดาษทรายเบอร์ 600 แล้วจึงนำมา บดด้วยครกบด สแตนเลส (stainless mortar) นำผงที่ผ่านการบดมาร่อนผ่าน ตะแกรง (sieve size)เพื่อคัดขนาด ให้ขนาดเซรามิก PZT มีค่ามัธยฐาน≈ 3-600 ไมครอน

แผนผังการเตรียมเซรามิกPZTและการคัดขนาดแสดงดังรูป 3.5



3.5 กระบวนการเตรียมเซรามิกเลดแมกนีเซียมในโอเบต (PMN)

3.5.1 การเตรียมสารเลดแมกนีเซียมในโอเบต (PMN)

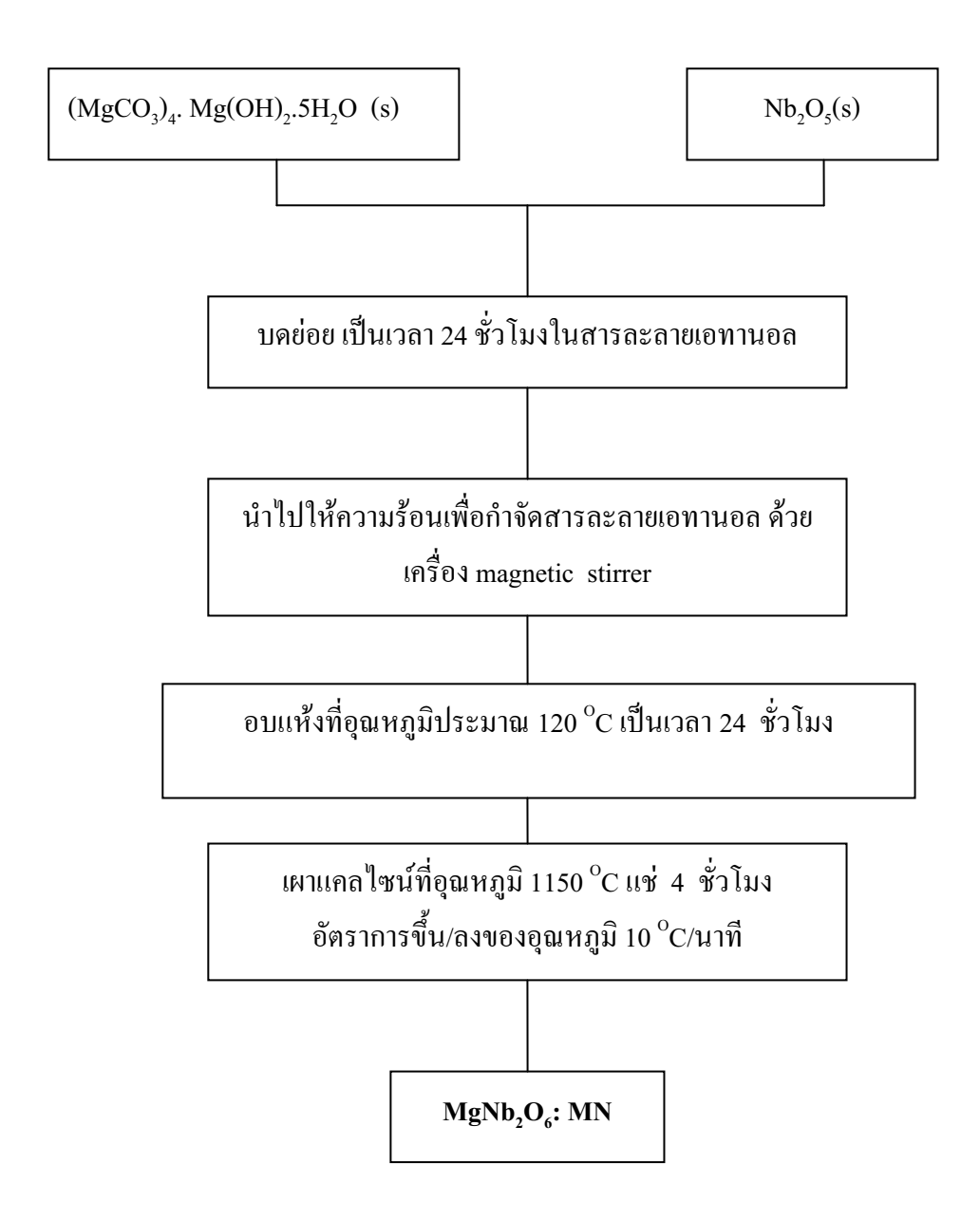
ในขั้นตอนนี้ต้องการเตรียมผงสารเลดแมกนีเซียมในโอเบตโดยใช้วิธีการเตรียมแบบมิ กซ์ออกไซด์แบบสองขั้นตอน (two-stage Mixed oxide) [x] โดยจะเตรียมสารแมกนีเซียมในโอเบต (MgNb $_2$ O $_6$: MN) ก่อนแล้วนำไปผสมกับ เลดออกไซด์ (PbO) ด้วยการบด แล้วนำไปเผาแคล ไซน์ให้ความร้อนเพื่อให้มีการทำปฏิกิริยากันกลายเป็นเลดแมกนีเซียมในโอเบต (PMN) รายละเอียดดังต่อไปนี้

การเตรียม MN

สามารถเตรียมสาร MNMC โดยใช้สารตั้งต้น คือ $(MgCO_3)_4.Mg(OH)_2.5H_2O$ และ Nb_2O_5 ทำปฏิกิริยากันในสภาวะเงื่อนไขที่เหมาะสม ซึ่งปฏิกิริยาที่เกิดขึ้นเป็นไปตามสมการ 3.3 ดังนี้

$$(MgCO_3)_4$$
. $Mg(OH)_2.5H_2O(s) +$ \longrightarrow $5Nb_2O_5(s)$ $5 MgNb_2O_6(s) + 4CO_2(g) + 6H_2O(l) (3.3)$

โดยการซั่งสารทั้งสองสำหรับทำปฏิกิริยากันตามปริมาณสารสัมพันธ์ แล้วนำมาผสม ให้เข้ากันพร้อมกับลดขนาดด้วยวิธีการบดย่อยแบบ ball milling โดยใช้เอทานอลเป็นตัวหล่อ ลื่นในกระบวนการบดย่อย ทำการบดเป็นเวลานาน 24 ชั่วโมง หลังจากนั้น จึงนำของเหลวที่ได้ จากการบดย่อยมาปั่นด้วยเครื่องผสมสารแบบแม่เหล็ก (magnetic stirrer) พร้อมกับให้ความร้อน เพื่อกำจัดตัวทำลาย จนกระทั่งของเหลวที่ได้มีความหนืดมากจนไม่สามารถปั่นอีกต่อไปได้ จึงนำ สารที่ได้เข้าตู้อบที่อุณหภูมิประมาณ 120°C เป็นเวลา 1 วัน เพื่อให้มั่นใจว่าสารที่เตรียมได้นั้น แห้งสนิท แล้วนำมาบดร่อนผ่านตะแกรง แล้วจึงนำไปเผาแคลไซน์ที่อุณหภูมิ 1150°C เป็นเวลา 4 ชั่วโมง อัตราการขึ้น/ลงของอุณหภูมิ 10°C ต่อนาที [11] โดยสามารถเขียนขั้นตอนการเตรียม ได้ดังแสดงในรูป 3.6



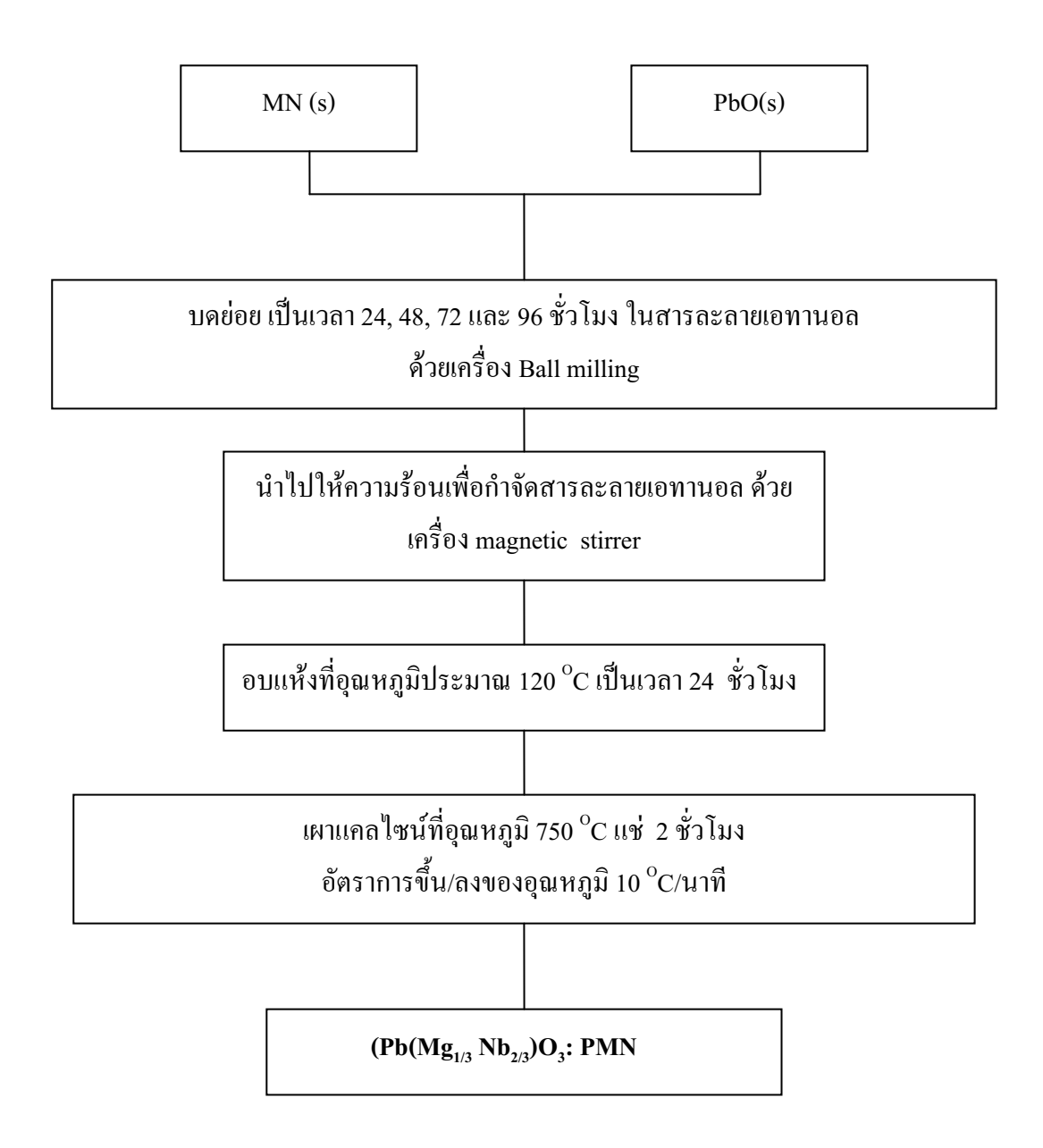
รูป 3.6 แสดงแผนผังการเตรียม MN

การเตรียมผง PMN

สามารถเตรียมสาร PMN โดยใช้สารตั้งต้น MN และ PbO ทำปฏิกิริยากันในสภาวะ เงื่อนไขที่เหมาะสม ซึ่งปฏิกิริยาที่เกิดขึ้นเป็นไปตาม สมการ 3.4 ดังนี้

$$MgNb_{2}O_{6}$$
 (MN) (s) + 3PbO (s) \longrightarrow 3Pb($Mg_{1/3}$ Nb_{2/3})O₃ (PMN) (s) (3.4)

โดยการซั่งสารทั้งสองสำหรับทำปฏิกิริยากันตามปริมาณสารสัมพันธ์ แล้วนำมาผสมให้เข้ากันพร้อมกับลดขนาดด้วยวิธีการบดย่อยแบบ ball milling โดยใช้เอทานอล เป็นสารละลายในกระบวนการบดย่อย เป็นเวลา 24, 48, 72 และ 96 ชั่วโมง เพื่อศึกษาผลของการแจกแจงของขนาดอนุภาคต่อการเกิดเฟสเพอรอฟสไกท์ หลังจากนั้นจึงนำสารผสมของเหลวกับของแข็งที่ได้จากการบดย่อยมาปั่นด้วยเครื่องผสมสารแบบแม่เหล็ก (magnetic stirrer) พร้อมกับให้ความร้อนเพื่อกำจัดเอทานอล จนกระทั่งเอทานอลระเหยไปเกือบหมด จึงนำสารที่ได้เข้าตู้อบที่อุณหภูมิประมาณ 120 ชั่วโมง เพื่อให้มั่นใจว่าสารที่เตรียมได้นั้นแห้งสนิท แล้วนำมาบดร่อนผ่านตะแกรง แล้วจึงนำไปเผาแคลไซน์ที่อุณหภูมิตั้งแต่ 750 ช เผาแช่เป็นเวลา 2 ชั่วโมง โดยใช้อัตราการขึ้น/ลงของอุณหภูมิ 10 ช ต่อนาที โดยสามารถเขียนขั้นตอนการเตรียมได้ดังแสดงในรูป 3.7



รูป 3.7 แสดงแผนผังการเตรียม PMN

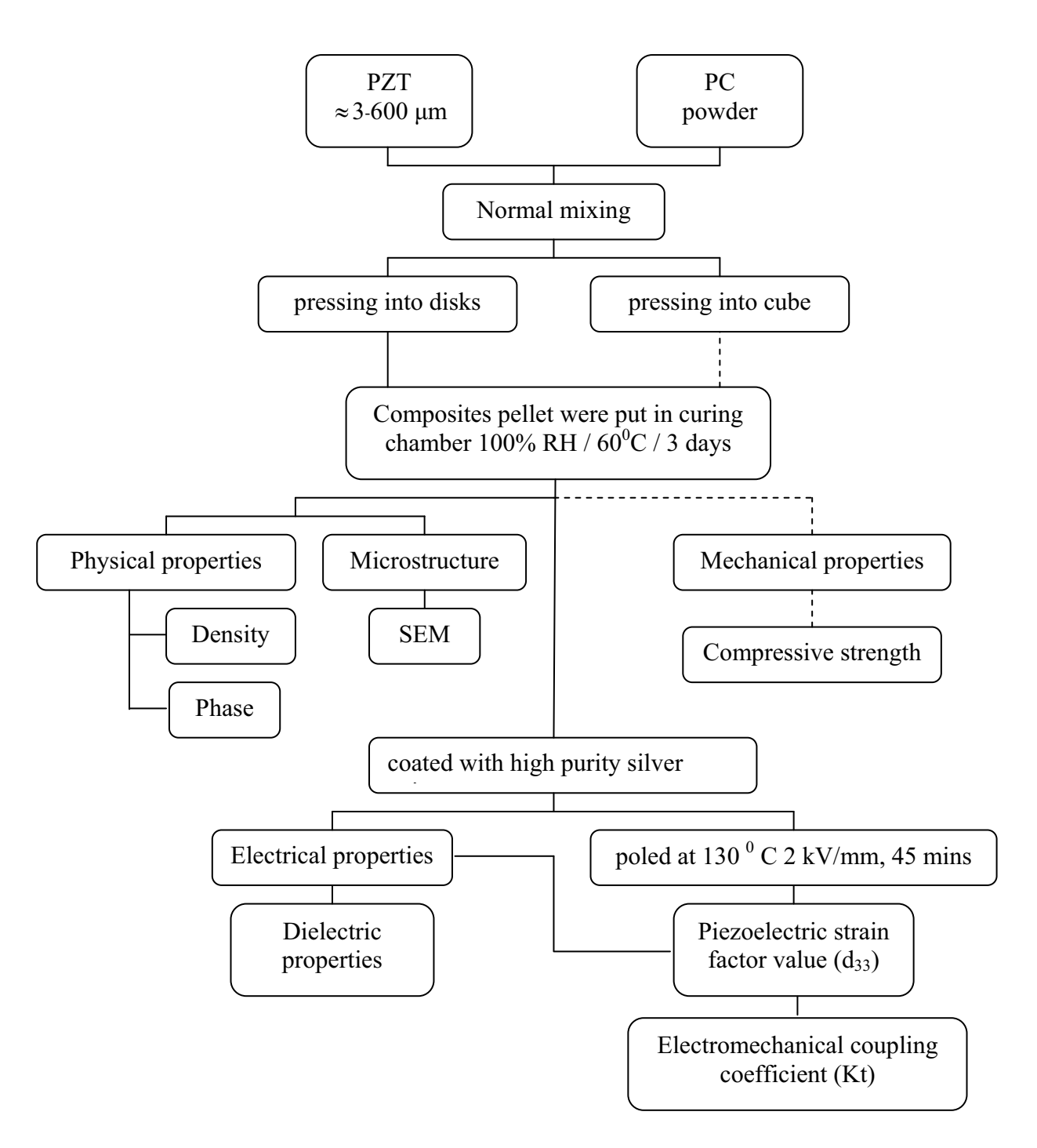
3.6 การเตรียมวัสดุผสมแบบ 0-3

วัสดุผสมแบบ 0-3 ที่เลือกใช้ในการทดลองนี้ คือ PZT-ปูนซีเมนต์ปอร์ตแลนด์ โดยให้ PZT เป็นดิสเพิรสเฟส และให้ปูนซีเมนต์ปอร์ตแลนด์เป็นเมทริกซ์เฟส

โดยเริ่มจากการร่อนปูนซีเมนต์ปอร์ตแลนด์ไม่ให้จับตัวกันเป็นก้อน จากนั้นจึงนำไปผสม กับผง PZT หรือเม็ดเซรามิก PZT ที่มีขนาดอนุภาคอยู่ระหว่าง 3-600ไมครอน โดยวิธีการผสมแบบ ธรรมดา (normal mixing) ด้วยอัตราส่วน 0 30 40 50 60 70 80 และ 90 ร้อยละโดยปริมาตรของ PZT จากนั้นนำไปอัดขึ้นรูปด้วยเครื่องอัดไฮดรอลิก ด้วยแรง 1-1.5 ตัน เป็นเวลา 10 วินาที ใน แม่พิมพ์โลหะที่มีลักษณะเป็นแผ่นกลม (disc) ขนาดเส้นผ่าศูนย์กลาง 15 มิลลิเมตร จากนั้นนำ ชิ้นงานที่ผ่านการขึ้นรูปแล้วมาจัดเรียงในเครื่องควบคุมอุณหภูมิ 60° และในสภาวะที่มีความชื้น เป็นเวลา 3 วัน เพื่อให้ปูนซีเมนต์ซึ่งที่เป็นเมทริกซ์เฟส เกิดการแข็งตัว เชื่อมประสานเซรามิก PZT ซึ่งเป็นดิสเพริสเฟส และ เพื่อให้เกิดปฏิกิริยา ไฮเดรชั่น ที่สมบูรณ์ จากนั้นจึงนำไปตรวจสอบสมบัติ ต่างๆ

แผนผังสรุปขั้นตอนการเตรียมทั้งหมดของวัสดุผสม PZT-ปูนชีเมนต์ปอร์ตแลนด์ แสดงดังรูป
3.8 และในงานวิจัยนี้ได้เตรียมวัสดุผสมในอัตราส่วนต่างๆ และการทดสอบสมบัติต่างๆเช่น สมบัติ
ทางกายภาพ สมบัติทางไฟฟ้า และสมบัติเชิงกล

ในส่วนของวัสดุผสมเลดเซอร์โคเนตไทเทเนต (PZT) และปูนซีเมนต์ปอร์ตแลนด์ผสมซิลิกา ฟูม (SFC) และวัสดุผสมเลดแมกนีเซียมในโอเบต (PMN) และปูนซีเมนต์ปอร์ตแลนด์ (PC)นั้นได้ ทำการศึกษาในขั้นเบื้องต้นก่อนทำการศึกษาสมบัติต่างๆวัสดุของผสมเลดเซอร์โคเนตไทเทเนต (PZT) และปูนซีเมนต์ปอร์ตแลนด์ (PC) ซึ่งรายละเอียดทั้งหมดได้ให้ไว้ในภาคผนวกเพื่อความ สะดวกและความชัดเจนในการอ่าน



รูป 3.8 แผนผังขั้นตอนการเตรียมวัสดุผสมPZT-ปูนซีเมนต์ปอร์ตแลนด์

3.7 การตรวจสอบสมบัติทางกายภาพของวัสดุผสม

3.7.1 การหาค่าความหนาแน่น

หาค่าความหนาแน่นของเม็ดเซรามิกPZT

การหาค่าความหนาแน่นของเม็ดเซรามิกPZTจะยึดหลักการของอาร์คีมีดิส
(Archimedes'principal) ซึ่งกล่าวว่า "เมื่อวัสดุจมในของเหลววัตถุนั้นจะถูกพยุงขึ้นด้วยแรงที่มี
ขนาดเท่ากับน้ำหนักของเหลวที่ถูกแทนที่" ขั้นตอนการหา คือ ซั่งเม็ดเซรามิกPZTในอากาศแล้ว
บันทึกค่า จากนั้นทำการชั่งเม็ดเซรามิกPZTในน้ำ หาค่าตัวแปรต่างๆที่ต้องใช้ดังสมการ

จากความส้มพันธ์

$$\rho = \left(\frac{W_0}{W_1 - W_2}\right) \rho_0 \tag{3.5}$$

โดย ho คือ ความหนาแน่นของสารตัวอย่าง

 ho_0 คือ ความหนาแน่นของของเหลวในการทดลองนี้ คือ น้ำ ที่ อุณหภูมิขณะชั่ง

 ${\sf W}_{\scriptscriptstyle 0}$ คือ น้ำหนักของสารตัวอย่างที่ชั่งในอากาศหลังจากอบแห้ง 24

ชั่วโมง

W₁ คือ น้ำหนักของสารตัวอย่างที่ชั่งในอากาศหลังต้มที่ 100ºซ เป็นเวลา 4-6 ชั่วโมง

W₂ คือ น้ำหนักของสารตัวอย่างที่ชั่งในของเหลวหลังต้มที่ 100⁰ช เป็น เวลา 4-6 ชั่วโมง

หาค่าความหนาแน่นของเม็ดวัสดุผสมและปูนซีเมนต์

การหาค่าความหนาแน่น จะยึดหลักของอาร์คีมีดิสเช่นกัน ขั้นตอนการหาจะต่างจาก การหาความหนาแน่นของเม็ดเซรามิกPZTตรงที่จะไม่ต้มเม็ดวัสดุผสมแต่จะใช้การแช่ในน้ำ 30 นาทีแทนซึ่งค่าตัวแปรต่างๆที่ต้องใช้มีดังสมการ

52

$$\rho = \left(\frac{W_1}{W_1 - W_2}\right) \rho_0 \tag{3.6}$$

โดย W₁ คือ น้ำหนักของสารตัวอย่างที่ชั่งในอากาศ W₂ คือ น้ำหนักของสารตัวอย่างที่ชั่งในน้ำหลังแช่ในน้ำที่ อุณหภูมิห้อง เป็นเวลา 45 นาที

และจากกฎทรงมวลของสารดังสมการ 3.7 สามารถคำนวณความหนาแน่นเชิงทฤษฎีเพื่อ นำมาเปรียบเทียบกับความหนาแน่นของวัสดุผสมจากการวัดจริงได้

$$M = M_{PT} + M_{PC} \tag{3.7}$$

M_{PZT} คือ มวลของ PZT ในวัสดุผสม

M_{PC} คือ มวลของ PC ในวัสดุผสม

จากนิยามความหนาแน่น
$$\rho = \frac{M}{V}$$
 (3.8)

$$M = \rho V \tag{3.9}$$

แทนค่า 3.9 ใน 3.7 จะได้
$$\rho V = \rho_{PZT} V_{PZT} + \rho_{PC} V_{PC} \tag{3.10}$$

โดยที่ V คือ ปริมาตรของวัสดุผสม

 $V_{ ext{PZT}}$ คือ ปริมาตรของ PZT ในวัสดุผสม

V_{PC} คือ ปริมาตรของ PC ในวัสดุผสม

 $ho_{\scriptscriptstyle exttt{PZT}}$ คือ ความหนาแน่นของ PZT ในวัสดุผสม

ρ_{PC} คือ ความหนาแน่นของ PC ในวัสดุผสม

3.8 การตรวจโครงสร้างผลึกด้วยเทคนิค XRD

เทคนิคนี้จะอาศัยการตรวจสอบโดยอาศัยการเลี้ยวเบนของรังสีเอกซ์ (X-ray diffraction) คือ เมื่อรังสีเอกซ์ตกกระทบบนผิววัสดุ ซึ่งมีโครงสร้างเป็นผลึก จะมีการจัดเรียงตัวของอะตอมอย่าง เป็นระเบียบที่มีลักษณะเป็นระนาบ (hkl) ซึ่งจะทำให้เกิดการกระเจิง (scattering) ของรังสีเอกซ์ เกิดขึ้น หลังจากนั้นรังสีเอกซ์จะเกิดการเลี้ยวเบน โดยที่มุมลี้ยวเบนของรังสีเอกซ์ที่ออกจากผลึกจะ เป็นลักษณะเฉพาะตามชุดระนาบนั้นๆ และสามารถที่จะเกิดการแทรกสอดเสริมกันได้เมื่อรังสีที่ เลี้ยวเบนมาจากชุดระนาบเดียวกัน เมื่อนำเครื่องตรวจจับ (detector) มาวางที่ตำแหน่งมุมที่เกิด การเลี้ยวเบน ก็จะสามารถตรวจสอบได้ว่ารังสีที่ตรวจจับได้นั้นมาจากระนาบใดและมีปริมาณ เท่าใด โดยดูจากค่ามุมและความเข้มของรูปแบบการเลี้ยวเบนที่ปรากฏ ซึ่งสารประกอบแต่ละชนิด ก็จะมีรูปแบบของการเลี้ยวเบนที่เป็นลักษณะเฉพาะแตกต่างกันไปตามลักษณะของโครงสร้าง

เมื่อนำวัสดุผสมที่ได้ มาตรวจสอบด้วยเครื่อง XRD ผลที่ได้จะเป็นรูปแบบการเลี้ยวเบน (diffraction pattern) ตามกฎของแบรก (Bragg's law) ซึ่งสามารถนำมาคำนวณค่า d-spacing ได้จากสมการ 3.11

$$2d\sin\theta = \lambda \tag{3.11}$$

เมื่อ d = ค่า d-spacing

 λ = ค่าความยาวคลื่นของรังสีเอกซ์ที่เกิดจากเป้าทองแดง

ซึ่งมีค่าประมาณ 1.54 A°

 θ = มุมของแบรก

เมื่อได้รูปแบบการเลี้ยวเบนของรังสีเอกซ์แล้วจะนำไปเทียบกับข้อมูลใน JCPDS file ซึ่งเป็น ฐานข้อมูลของ XRD

3.9 การตรวจสอบโครงสร้างโดยใช้กล้องจุลทรรศน์อิเล็กตรอนแบบส่องกราด (Scaning Electron Microscope, SEM)

กล้องจุลทรรศน์อิเล็กตรอนแบบส่องกราด เป็นเครื่องมือที่ใช้ในการศึกษาลักษณะสัณฐาน วิทยา (morphology) หรือโครงสร้างจุลภาค (microstructure) ของสารตัวอย่างซึ่งมีกำลังขยาย มากกว่า 3000 เท่าจนถึงมากกว่า 100,000 เท่า โดยการแจกแจงรายละเอียดของภาพมีความ เป็นไปได้ประมาณ 3 นาโนเมตร ในการทดลองนี้จะเป็นการนำชิ้นงานวัสดุผสม PZT-PC ที่มี อัตราส่วนในการผสมต่างๆมาส่องด้วยกล้อง SEM ข้อมูลที่ได้นี้สามารถบอกลักษณะ รูปร่าง และ การจัดเรียงตัวของวัสดุผสมได้ นอกจากนี้ยังสามารถเห็นถึงบริเวณรอยต่อของเฟสที่ต่างกันและรู พรุนภายในของวัสดุผสมได้

การเตรียมชิ้นงานก่อนนำไปถ่าย SEM มีวิธีการเตรียมดังนี้

- ทำความสะอาดชิ้นงานเพื่อขจัดสิ่งสกปรกที่เกาะบริเวณผิววัสดุผสมออกให้หมด
- นำวัสดุผสมที่ได้เข้าเตาอบอุณหภูมิ 105° ซ ประมาณ 45 นาทีเพื่อไล่ความชื้น
- นำชิ้นวัสดุผสมที่ผ่านการทุบให้แตกติดลงบนแท่นวางชิ้นงานทองเหลืองที่ติดเทป คาร์บอนไว้
- เคลือบผิวชิ้นงานด้วยวิธี gold sputtering เพื่อให้เกิดการนำไฟฟ้าแบบครบวงจรต่อ ชิ้นงาน
- ทำการตรวจสอบด้วยเครื่อง SEM เพื่อดูลักษณะสัณฐานวิทยาของรอยหักของวัสดุผสม

3.10 การตรวจสอบสมบัติทางไฟฟ้า

3.10.1 การสร้างขั้วและการโพล

เริ่มจากการขัดชิ้นงานให้มีขนาดตามต้องการ จากนั้นนำไปอบให้แห้งประมาณ 45 นาที่ ก่อนนำมาทากาวเงิน (silver paint) แบบไม่เผาเพื่อให้เกิดการนำไฟฟ้าแบบครบวงจรจากนั้นจะ เข้าสู่ขั้นตอนของการโพล ซึ่งการโพลนั้น เป็นการให้สนามไฟฟ้าเข้าไปเบี่ยงเบน โพลาไรเซชั่นใน เนื้อสารให้เปลี่ยนไปตามสนามไฟฟ้าที่ให้เข้าไป โดยจะนำชิ้นงานไปวางในน้ำมันซิลิโคนที่อุณหภูมิ 130⁰ซ โดยให้สนามไฟฟ้าแก่ชิ้นงานขนาด 2 กิโลโวลต์ต่อมิลลิเมตร เป็นเวลา 45 นาที โดยจะสร้าง ขั้วในทิศตามแนวความยาวของวัสดุผสม

3.10.2 การตรวจสอบค่าคงที่ไดอิเล็กทริกหรือค่าสภาพยอมสัมพัทธ์ ($\mathbf{\mathcal{E}}_{r}$) และ การ ตรวจสอบค่าสัมประสิทธิ์คู่ควบไฟฟ้าเชิงกล (electromechanical coupling coefficient, K)

หลังจากเตรียมชิ้นงานให้มีขนาดตามต้องการแล้วจากนั้นนำชิ้นงานทาด้วยกาวเงินทั้งสอง ด้านเพื่อให้เกิดการนำไฟฟ้าแบบครบวงจร จากนั้น นำมาวัดความจุและค่าตัวประกอบการสูญเสีย ทางไดอิเล็กทริกในทิศตามแนวความยาวของวัสดุผสมด้วยเครื่อง LCZ meter ซึ่งเมื่อนำไป คำนวณหาสภาพยอมสัมพัทธ์จากสมการ 3.12 จะได้เป็น ε_{33} โดยจะทำการวัดที่อุณหภูมิห้องด้วย ความถี่ 1 กิโลเฮิร์ท

$$\varepsilon_r = \frac{Cd}{\varepsilon_0 A} \tag{3.12}$$

เมื่อ C = ค่าความสามารถในการกักเก็บประจุของสาร (F)

 $arepsilon_0 =$ ค่าสภาพยอมของสุญญากาศ มีค่า 8.854 $exttt{x}$ 10 $^{ exttt{-12}}$ (F/m)

 $arepsilon_r$ = ค่าสภาพยอมสัมพัทธ์ของสารไดอิเล็กทริกนั้น

A = พื้นที่ผิวของขั้วไฟฟ้าบนสารไดอิเล็กทริก (m²)

d = ระยะห่างระหว่างขั้วไฟฟ้า (m)

ค่าสัมประสิทธิ์คู่ควบไฟฟ้าเชิงกล electromechanical coupling coefficient (K₁) เครื่อง LCZ impedance meter (Hewlett Packard 4194A) และสามารถคำนวณได้จากสมการ ดังต่อไปนี้

$$K_{t}^{2} = \frac{\pi}{2} \frac{f_{m}}{f_{n}} \tan(\frac{\pi}{2} \frac{f_{n} - f_{m}}{f_{n}})$$
(3.13)

โดยค่า $f_{\scriptscriptstyle m}$ และ $f_{\scriptscriptstyle n}$ คือค่าความถี่ ณ ความต้านทานไฟฟ้าต่ำสุดและสูงสุด ตามลำดับ

3.10.3 การตรวจสอบค่าสัมประสิทธิ์เพียโซอิเลกทริก

นำวัสดุผสมที่เตรียมแล้วไปทำการโพลซึ่งเป็นขั้นตอนที่ยากและใช้เวลานานมากเนื่องจาก เป็นการโพลในรูปแบบ 0-3 ที่มีปูนเพสต์เป็น matrix หลังจากทำการโพลเสร็จ 24 ชั่วโมง จึงนำตัว ชิ้นงานไปทำการวัดค่าสัมประสิทธิ์เพียโซอิเลกทริกในทิศทางตามแนวความยาวหรือในแนวขนาน กับทิศทางการให้สนามไฟฟ้า โดยจะวัดค่าสัมประสิทธิ์เพียโซอิเลกทริกในแนวขนานกับทิศทางการ โพล เช่นกัน ด้วยเครื่อง piezoelectric meter

3.11 การตรวจสอบสมบัติเชิงกล

3.11.1 การทดสอบกำลังอัด

ทำการเตรียมชิ้นงานวัสดุผสมที่ต้องการทดสอบกำลังอัดด้วยการอัดขึ้นรูปในแม่พิมพ์โลหะ ด้วยแรง 1 ตัน เป็นเวลา 10 วินาที โดยเครื่องอัดไฮดรอลิก ในแม่พิมพ์โลหะที่มีลักษณะเป็น ลูกบาศก์ ขนาด 10x10x10 มิลลิเมตร จากนั้นนำชิ้นงานที่ผ่านการขึ้นรูปแล้วมาจัดเรียงในเครื่อง ควบคุมอุณหภูมิแบบอ่าง (temperature bath) ที่สามารถควบคุมความชื้นได้ถึง 100 เปอร์เซ็นต์ที่ อุณหภูมิ 60° ซ เป็นเวลา 3 วัน เพื่อให้ปูนซีเมนต์ซึ่งที่เป็นเมทริกซ์เฟสเกิดการแข็งตัวเชื่อมประสาน เซรามิก PZT ซึ่งเป็นดิสเพริสเฟสและเกิดปฏิกิริยาไฮเดรชั่นที่สมบูรณ์ จากนั้นจึงนำไปทดสอบ กำลังอัดด้วยเครื่องทดสอบกำลังอัด

โดยมีวิลีการทดสคบดังนี้

- 1) นำก้อนตัวอย่างวางกึ่งกลางของแท่นทดสอบโดยให้แกนอยู่ในแนวศูนย์กลางของแท่น กด
- 2) เปิดเครื่องทดสอบ
- 3) กดก้อนชิ้นงานจนแตกหัก แล้วทำการบันทึกค่าที่ได้
- 4) นำค่าน้ำหนักและพื้นที่หน้าตัดที่ได้มาหาค่ากำลังอัด ดังสมการ 3.14

หน่วยที่ใช้ทั่วไป คือ

- 1.กิโลกรัมต่อตารางเซนติเมตร (Kg/cm²)
- 2.นิวตันต่อตารางมิลลิเมตร (N/mm²)

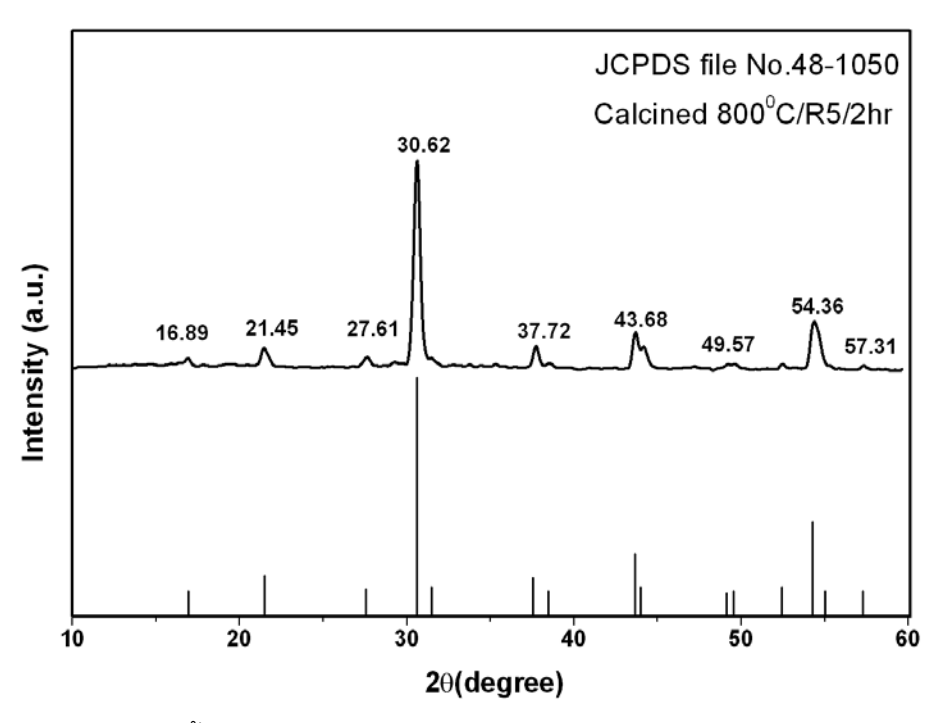
บทที่ 4 ผลการทดลองและการอภิปรายผล

ในบทนี้จะนำเสนอผลการทดลองในส่วนของวัสดุผสมเพียโซอิเลกทริกและปูนซีเมนต์แบบ 0-3ผลิตจากเลดเซอร์โคเนตไทเทเนต และ ปูนซีเมนต์ปอร์ตแลนด์ (PZT-PC) ผลการตรวจสอบเฟส พฤติกรรมโครงสร้างผลึก สมบัติทางกายภาพ ได้แก่ ความหนาแน่น โครงสร้างทางจุลภาค สมบัติ ทางด้านไฟฟ้าได้แก่ ค่าคงที่ไดอิเล็กทริก ค่าตัวประกอบการสูญเสียทางไดอิเลกทริก ค่า สัมประสิทธิ์เพียโซอิเลกทริก และ ค่าสัมประสิทธิ์คู่ควบไฟฟ้าเชิงกล ท้ายสุดจะนำเสนอในส่วนของ สมบัติเชิงกล ได้แก่ กำลังอัด พร้อมทั้งอภิปรายและวิเคราะห์ผลตามลำดับดังนี้

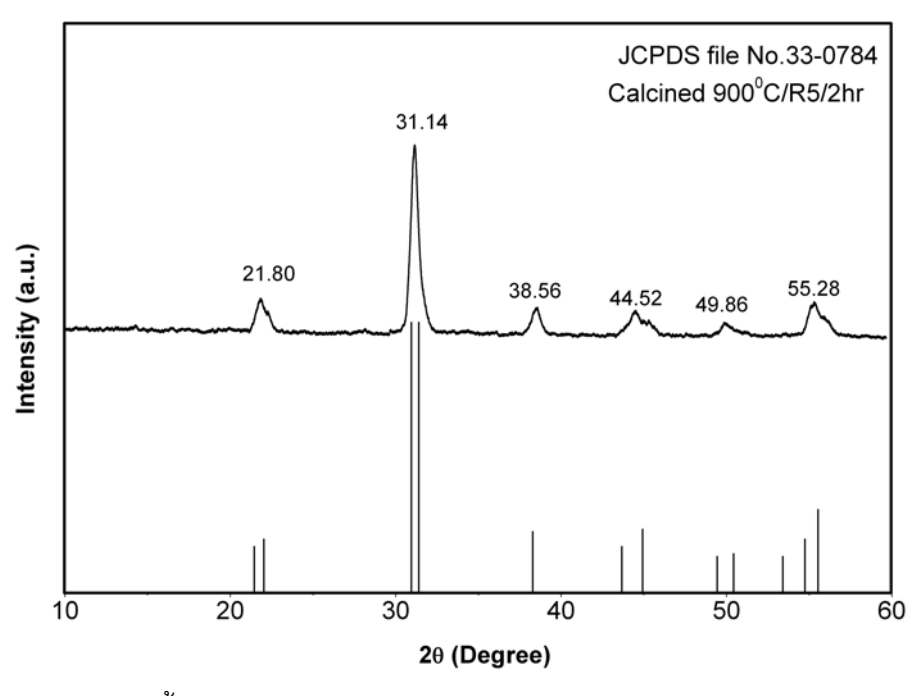
4.1 ผลการตรวจสอบเฟส ด้วยเทคนิคการเลี้ยวเบนของรังสีเอกซ์ (XRD) ของวัสดุผสม แบบ 0-3 ในระบบ PZT-PC

4.1.1. โครงสร้างผลึกผงเลดเซอร์โคเนตไทเทเนต(PZT)

จากการเตรียมผง PZT แบบ two step ซึ่งมีขั้นตอนการเตรียมสองขั้นตอนด้วยกันโดยจะ เริ่มจากการเตรียมผงเลดเซอร์โคเนต (PZ) ก่อนซึ่งจะทำการเผาแคลไซน์ที่อุณหภูมิ 800 ⁰ซ ผลการ ตรวจสอบเฟสของผง PZ ที่ได้ด้วยเทคนิคการเลี้ยวเบนของรังสีเอกซ์ (XRD) แสดงดังรูป 4.1 ซึ่งจะ เห็นว่า ผง PZ ที่เตรียมได้มีรูปแบบการเลี้ยวเบนของรังสีเอกซ์ที่สอดคล้องกับข้อมูลของสาร PZ สูตร PbZrO₃ ในแฟ้มข้อมูล JCPDS หมายเลข 48-1050 และเมื่อพิจารณาพีคของรังสีเอกซ์ที่ได้จะ พบว่ามีพีคแปลกปลอมที่ตำแหน่งมุม 2 $oldsymbol{ heta}$ ประมาณ 29.25 ซึ่งน่าจะเป็น PbO และมีพีคที่มีความ เข้มสูงที่สุดอยู่ที่ตำแหน่งค่า 2 $oldsymbol{ heta}$ เป็น 30.62 54.36 43.68 37.72 และ 21.45 ตามลำดับ เมื่อได้ทำ การวิเคราะห์เฟสของ PZ แล้วขั้นตอนต่อมา คือ จะเป็นการเตรียมผง PZT โดยผสมผง PZ กับ PbO และ TiO $_2$ ด้วยการ ball milling จากนั้นทำการเผาแคลไซน์ที่อุณหภูมิ 900 $^{^0}$ ซ และทำการ ตรวจสอบผง PZT ที่ผ่านการแคลไซน์ด้วยเทคนิคการเลี้ยวเบนของรังสีเอกซ์ พบว่าได้ผลดังรูป 4.2 ซึ่งจะพบว่าผงที่เตรียมได้มีรูปแบบการเลี้ยวเบนของรังสีเอกซ์ที่สอดคล้องกับข้อมูลของสาร PZT สูตร Pb(Zr $_{0.52}$ Ti $_{0.48}$)O $_3$ ในแฟ้มข้อมูล JCPDS หมายเลข 33-0784 ซึ่งมีโครงสร้างผลึกเป็นเตตระ โกนอล (tetragonal) และมีพีคที่มีความเข้มที่สูงที่สุดอยู่ที่ตำแหน่งค่า 2 $oldsymbol{ heta}$ เป็น 31.14 21.80 55.28 38.56 และ 44.52 ตามลำดับ มี lattice parameter a เท่ากับ b เท่ากับ 4.036 และ lattice parameter c เท่ากับ 4.146 ซึ่งมีความเป็นเตตระโกนอลิตี (tetragonality : c/a) เท่ากับ 1.027 และไม่พบเฟสแปลกปลอมที่พบในผง PZ และหลังจากผ่านกระบานการซินเตอร์ด้วยอุณหภูมิ 1200°ซ เป็นเวลา 2 ชั่วโมงโดยใช้อัตราการขึ้นลงของอุณหภูมิเท่ากับ 5°ซ ต่อนาทีก็ไม่พบเฟส แปลกปลอมเช่นกัน



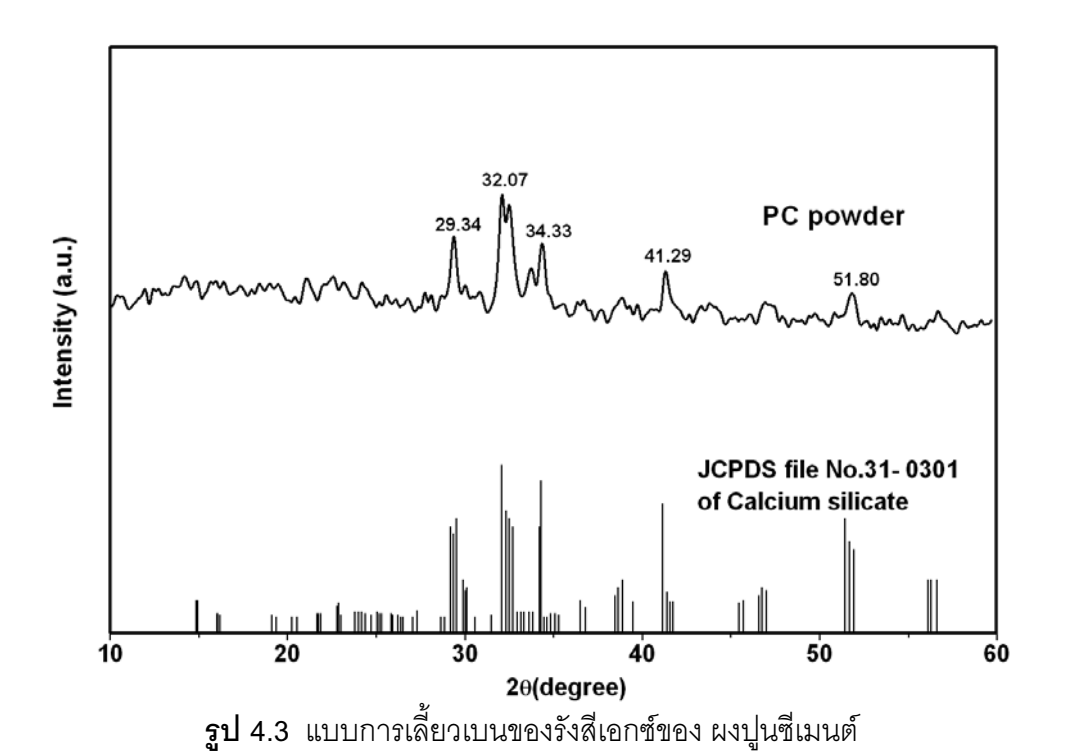
รูป 4.1 การเลี้ยวเบนของรังสีเอกซ์ของ PZ เทียบกับ JCPDS file No.48-1050



รูป 4.2 การเลี้ยวเบนของรังสีเอกซ์ของ PZT เทียบกับ JCPDS file No.33-0784

4.1.2. โครงสร้างผลึกของผงปูนซีเมนต์ปอร์ตแลนด์ (PC)

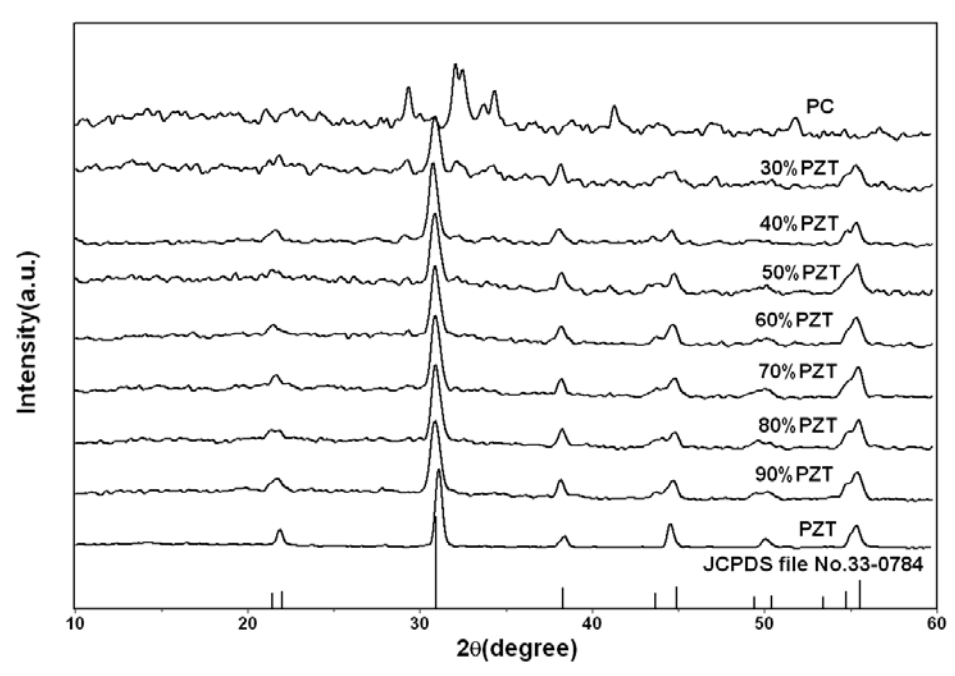
ผลการตรวจสอบเฟสของผง PC ด้วยเทคนิคการเลี้ยวเบนของรังสีเอกซ์ (XRD) แสดงดัง รูป 4.3



ซึ่งจะเห็นว่าผงปูน PC ที่ได้มีรูปแบบการเลี้ยวเบนของรังสีเอกซ์ที่สอดคล้องกับข้อมูลของ สาร แคลเซียมซิลิเกต (Calcium silicate) สูตร Ca_3SiO_5 ในแฟ้มข้อมูล JCPDS หมายเลข 31-0301 มีพีคที่มีความเข้มสูงที่สุดของผง PC อยู่ที่ตำแหน่งค่า 2 $m{\theta}$ เป็น 32.07 29.34 34.33 41.29 และ 51.80 ตามลำดับ มี lattice parameter a เท่ากับ 14.08 b เท่ากับ 14.21 และ lattice parameter c เท่ากับ 25.1 และพบว่ามีความเป็น amorphous สูง

4.1.3.โครงสร้างผลึกวัสดุผสมเลดเซอร์โคเนตไทเทเนต-ปูนซีเมนต์ปอร์ตแลนด์ (PZT-PC)

จากการเตรียมวัสดุผสมด้วยการอัดขึ้นรูปและนำไปผ่านกระบวนการการเกิดไฮเดรชั่นของ ปูนซีเมนต์โดยการนำไปแช่ในเครื่องควบคุมอุณหภูมิแบบอ่างที่มีความชื้นเกือบ 100 เปอร์เซ็นต์ เป็นเวลา 3 วัน เพื่อช่วยในการแข็งตัวของวัสดุผสมแล้ว จากนั้นนำวัสดุผสมในอัตราส่วนต่างๆมา อบเพื่อไล่ความชื้นและนำมาบดให้ละเอียดก่อนจะนำมาตรวจสอบเฟสของผงวัสดุผสมที่ได้ด้วย เทคนิคการเลี้ยวเบนของรังสีเอกซ์ ซึ่งผลการตรวจสอบที่ได้แสดงดังรูป 4.4



รูป 4.4 การเลี้ยวเบนของรังสีเอกซ์ของ PZT เมื่อผสมกับปูนซีเมนต์ปอร์ตแลนด์ (PC)

จากการเลี้ยวเบนของรังสีเอกซ์ที่ได้จากวัสดุผสมแบบ 0-3 ระหว่าง PZT กับ ปูนซีเมนต์ ปอร์ตแลนด์ ดังรูป 4.4 พบว่าการเลี้ยวเบนของรังสีเอกซ์ที่เกิดขึ้นเป็นการรวมกันระหว่างเฟสของ PZT และ ปูนซีเมนต์ปอร์ตแลนด์ซึ่งจะสังเกตเห็น peak ของ PZT เด่นชัดกว่า peak ของ PC โดย เฉพาะที่มีอัตราส่วนผสมของ PZT สูงๆ ทั้งนี้เนื่องมาจากโครงสร้างที่เป็นผลึกของ PZT จะโดดเด่น กว่าโครงสร้างที่เป็นอสัณฐาน (amorphous) ของปูน PC

4.2 ผลการตรวจสอบสมบัติทางกายภาพ ของวัสดุผสมแบบ 0-3 ในระบบ PZT-PC

4.2.1 การตรวจสอบสมบัติทางกายภาพของเซรามิก PZT

จากการกระบวนการเตรียมผง PZT จนถึงการขึ้นรูปกลายเป็นเซรามิก PZT ได้มีการ ตรวจสอบสมบัติทางกายภาพของเซรามิก PZT แสดงดังตาราง 4.1

ตาราง 4.1 สมบัติทางกายภาพของเฮรามิก PZT

| อุณหภูมิซิน เตอร์ (ºซ) | ความ หนาแน่น | ความ หนาแน่น สัมพัทธ์ (%) | ร้อยละการ หดตัวเชิงเส้น | ร้อยละการ หดตัวเชิง ปริมาตร | ร้อยละของ น้ำหนักที่ สูญเสีย |
|---------------------------|-----------------|---------------------------------|----------------------------|-----------------------------------|------------------------------------|
| 1200 | 7.81 | 97.55 | 15.76±0.35 | 29.04 ±0.60 | 0.66±0.06 |

จากตาราง 4.1 พิจารณาความหนาแน่นของเซรามิก PZT ที่หาได้มีค่าเท่ากับ 7.81 และ เมื่อเปรียบเทียบกับค่าทางทฤษฎีซึ่งหาได้จากสมการ 4.1

$$\rho_{theory} = \frac{Mn}{V_{abc}N_a} \tag{4.1}$$

 M
 คือ
 มวลโมเลกุลของสารที่เป็นผลึก

 n
 คือ
 จำนวนโมเลกุลในหน่วยเซลล์

 V_{abc}
 คือ
 ปริมาตรหน่วยเซลล์ประกอบด้วยด้าน a, b และ c

 N_a
 คือ
 เลขอโวกาโด (Avogadro constant) มีค่าเท่ากับ

 6.022 x10²³ mol ⁻¹

เมื่อแทนค่ามวลโมเลกุลของ PZT ซึ่งมีค่าเท่ากับ 325.6 กรัม และโครงสร้างผลึกของ PZT ซึ่งเป็นเตตระโกนอลิตีมีปริมาตร 6.749x10⁻²³ ลูกบาศ์กเซนติเมตรและมีโมเลกุลเคี่ยวในหน่วย เซลล์ เมื่อแทนค่าในสมการ 4.1 จะทำให้ได้ความหนาแน่นตามทฤษฎีของ PZT คือ 8.011 กรัมต่อ ลูกบาศก์ เซนติเมตร

จะเห็นว่าความหนาแน่นของ PZT ที่เตรียมได้มีค่าน้อยกว่าความหนาแน่นตามทฤษฎี ซึ่งก็ ควรจะเป็นเช่นนั้น เพราะในความเป็นจริงแล้วภายในสารตัวอย่างมีความบกพร่องต่างๆภายใน เช่น สิ่งเจือปนต่างๆ (impurity) หรือรูพรุน (porosity) ซึ่งจะมีทั้งรูพรุนปิด (close pore) และ รูพรุน เปิด (open pore) ซึ่งเป็นความบกพร่องที่ไม่สามารถหลีกเลี่ยงได้

4.2.2 การตรวจสอบสมบัติทางกายภาพของวัสดุผสม PZT-PC

ในการเตรียมวัสดุผสมแบบ 0-3 ปริมาตรและการกระจายตัวของเมทริกซ์เฟสในดิสเพอรส เฟสจะส่งผลต่อสมบัติต่างๆของวัสดุผสมไม่เว้นแม้แต่ความหนาแน่น ดังนั้นจึงทำการวัดความ หนาแน่นของวัสดุผสม PZT-PC แสดงดังตาราง 4.2

ตาราง 4.2 ค่าความหนาแน่นของวัสดุผสม PZT-PC

| สารตัวอย่าง | ความหนาแน่นที่วัดจริง (g/cm³) | | |
|-------------|----------------------------------|--|--|
| | (g/cm) | | |
| PC | 2.71±0.11 | | |
| 30%PZT | 4.20±0.45 | | |
| 40%PZT | 4.47±0.47 | | |
| 50%PZT | 5.12±0.09 | | |
| 60%PZT | 5.59±0.18 | | |
| 70%PZT | 6.06±0.08 | | |
| 0%PZT | 6.21±0.27 | | |
| 90%PZT | 7.14±0.54 | | |
| PZT | 7.81±0.01 | | |

สำหรับการศึกษาความหนาแน่นของวัสดุผสมแบบ 0-3 ในอัตราส่วนต่างๆกันของ PZT ดิสเพรอสเฟส ใน PC เมทริกซ์เฟสจะพบว่าค่าความหนาแน่นมีค่าเพิ่มขึ้นเมื่อปริมาตร PZT ใน ระบบเพิ่มขึ้น

4.3 ผลการตรวจสอบภาพถ่ายจุลทรรศน์อิเล็กตรอนแบบส่องกราด (SEM) แสดง โครงสร้างของวัสดุผสมแบบ 0-3

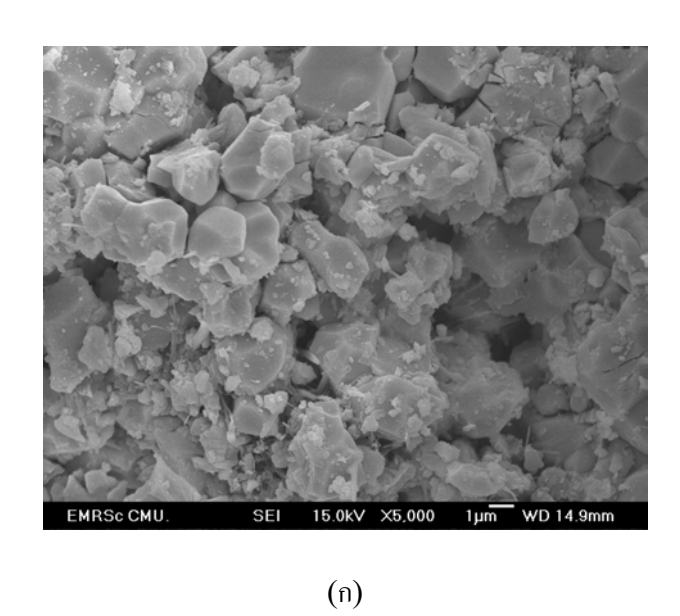
ในส่วนของการศึกษาโครงสร้างของวัสดุผสมแบบ 0-3 โดยใช้จุลทรรศน์อิเล็กตรอนแบบ ส่องกราด ในระบบ PZT-PC ที่ใช้ขนาดอนุภาคของPZT ต่างกันนั้นสามารถเห็นถึงความแตกต่าง ทางขนาดของอนุภาคได้ดังแสดงในรูป 4.5

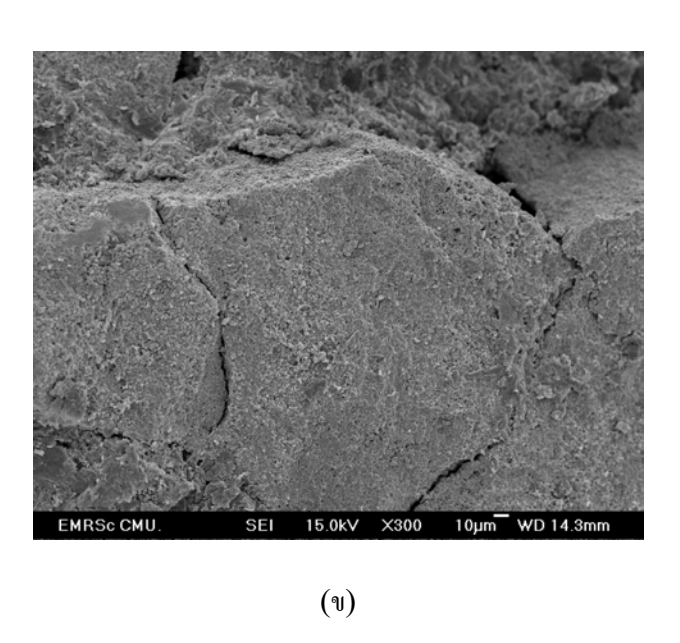
จากรูป 4.6 แสดงให้เห็นถึงการยึดเกาะกันและการผสมผสานที่ดีระหว่าง PZT กับ cement matrix ในส่วนของ cement matrix นั้นพบว่ามีการเกิดปฏิกิริยาไฮเดรชั่นของปูนซีเมนต์ ปอร์ตแลนด์ขึ้น (4.6 (ก)) จากปฏิกิริยาไฮเดรชั่นนี้จึงทำให้ได้ แคลเซียมซิลิเกตไฮเดรต (Calcium Silicate Hydrate, CSH) ที่มีลักษณะคล้ายเส้นใยเล็กๆพันกันไปมา ซึ่ง CSH เกิดจาก สารประกอบหลักแคลเซียมซิลิเกตทำปฏิกิริยากับน้ำ นอกจากนี้ยังพบชั้นของเอทาในท์ (Ettringite) ที่มีลักษณะคล้ายแท่งเข็มเล็กๆซึ่งเกิดจากไตรแคลเซียมอลูมิเนตทำปฏิกิริยากับยิปชั่ม ซึ่งเป็นสารประกอบหลักเช่นกัน สังเกตได้จากการวิเคราะห์สารประกอบด้วยสเปคตรัม 1 ของ EDX ดังรูป 4.7

จากรูป 4.6 (ข) และ(ค) เป็นโครงสร้างทางจุลภาคของวัสดุผสม PZT-PC ที่มีปริมาตร PZT 30 และ 50 % โดยปริมาตรในระบบ ซึ่งจะเห็นเฟสของ PZT ถูกล้อมรอบด้วยเฟสของ cement matrix

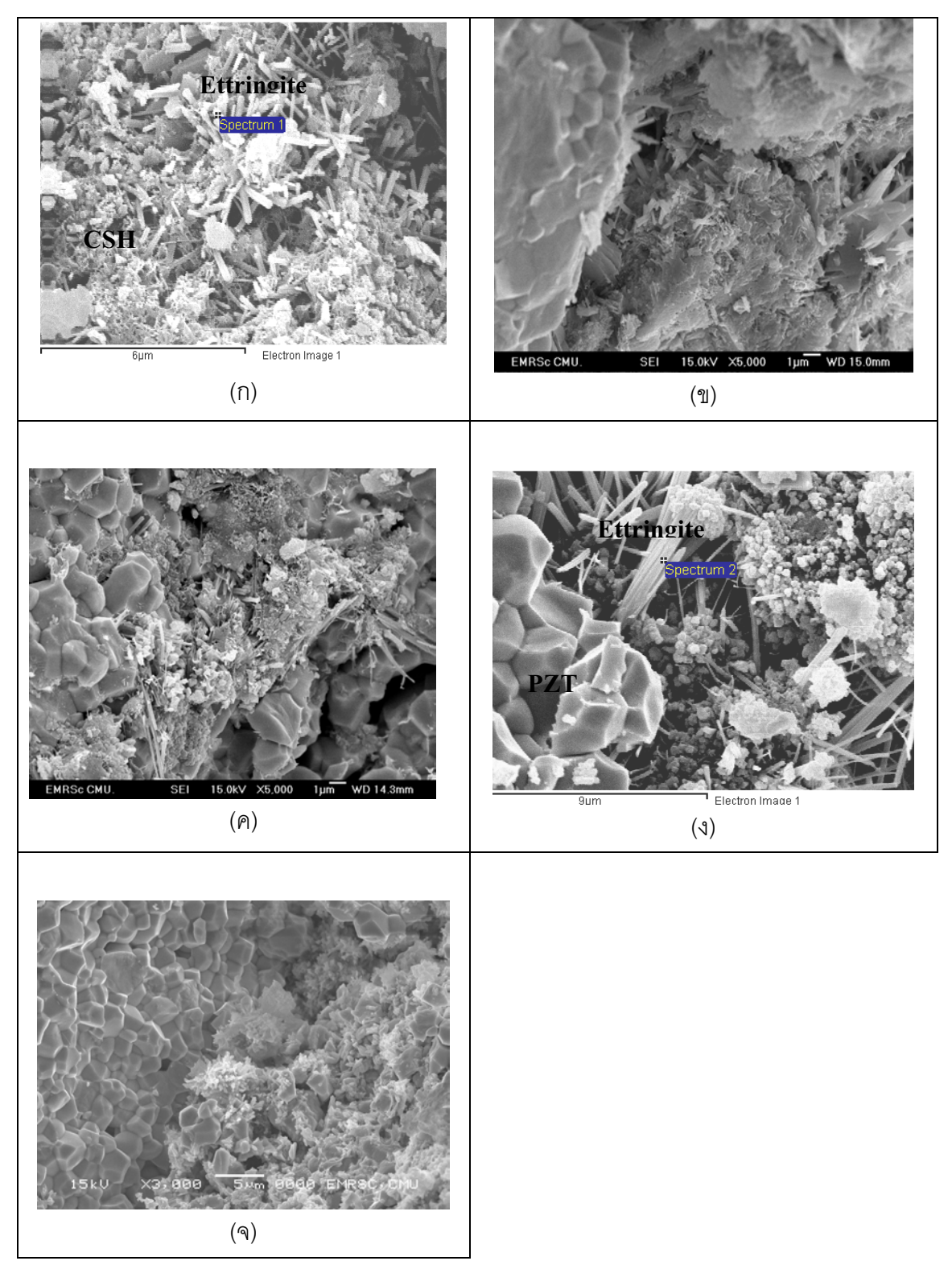
และ จากรูป 4.6 (ง) ซึ่งเป็นโครงสร้างทางจุลภาคของวัสดุผสม PZT-PC ที่มีปริมาตร PZT 70 % โดยปริมาตรในระบบ ซึ่งจะเห็นรอยต่อระหว่างเซรามิก PZT และปูน PC นอกจากนี้ในเฟส ของ cement matrix ยังพบชั้นของเอทาในท์ ที่มีลักษณะเหมือนเข็มที่แตกตัวแยกออกมา ซึ่งสังเกต ได้จากการวิเคราะห์สารประกอบด้วยสเปคตรัม 2 ของ EDX ดังรูป 4.7 (ข)

และจากรูป 4.6 (จ) ซึ่งมีปริมาตร PZT 90 % โดยปริมาตรในระบบของวัสดุผสม PZT-PC จะพบเฟสของ PZT ชัดเจนขึ้น

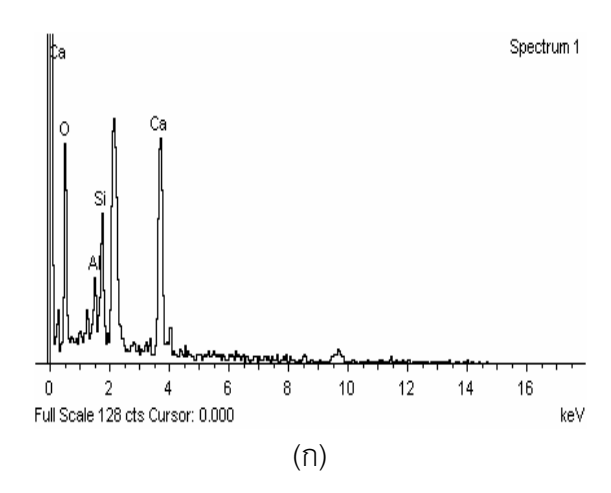


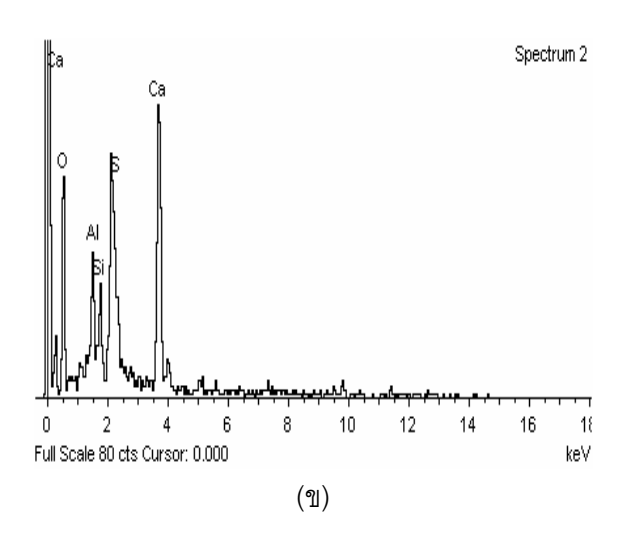


รูป 4.5 ภาพถ่ายจุลทรรศน์อิเล็กตรอนแสดงโครงสร้างของวัสดุผสมแบบ 0-3 ในระบบ PZT-PC ที่ 50%PZT (ก) 3µm และ (ข) 620 µm



รูป 4.6 ภาพถ่ายจุลทรรศน์อิเล็กตรอนแสดงโครงสร้างของวัสดุผสมแบบ 0-3 ในระบบ PZT-PC โดยที่ (ก) คือ PC (ข) คือ 30%PZT (ค) คือ 50%PZT (ง) คือ 70%PZT และ (จ) คือ 90%PZT



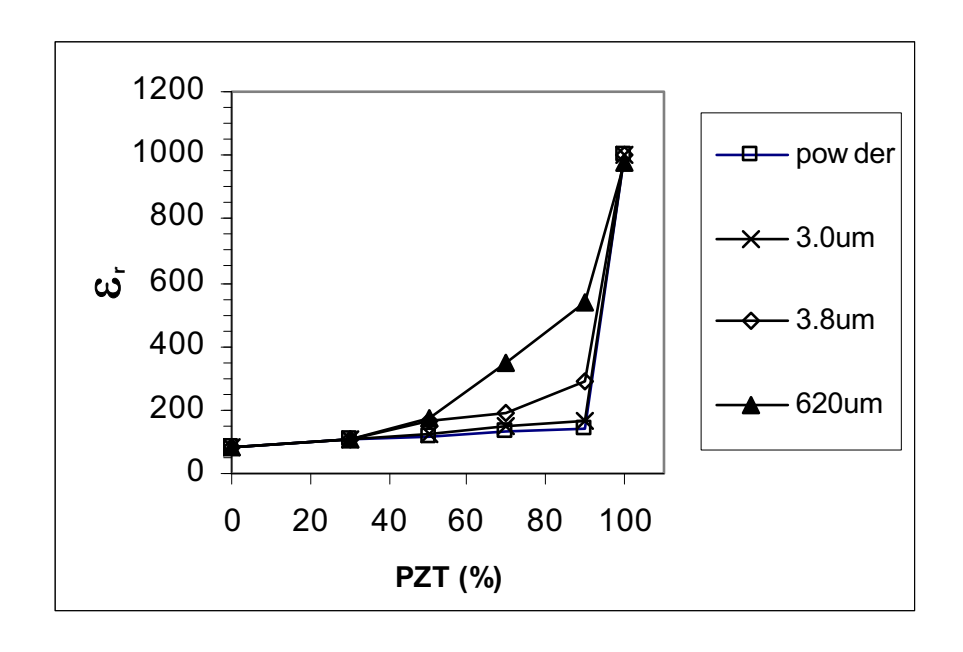


รูป 4.7 การวิเคราะห์ด้วย EDS ของ (ก) PC และ (ข) 70%PZT

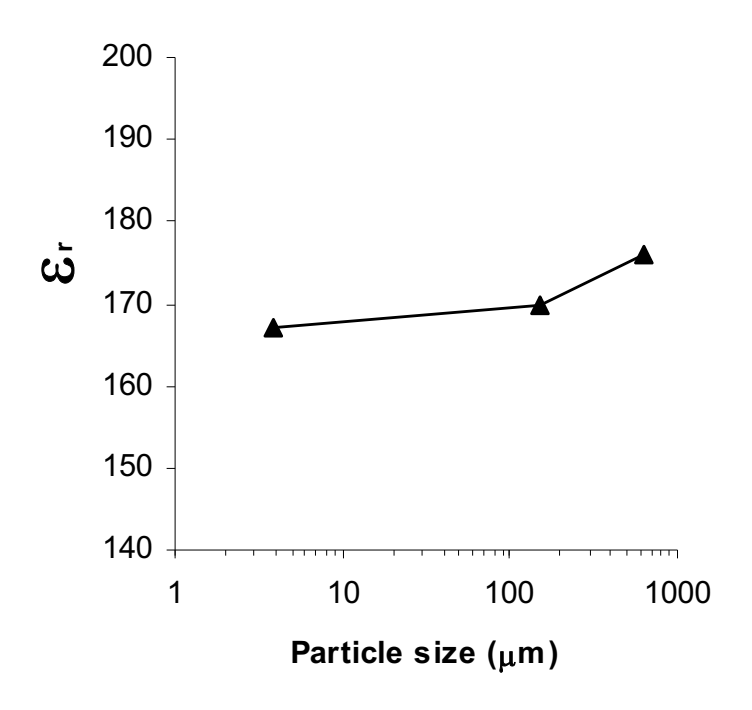
4.4 ผลการตรวจสอบสมบัติทางไฟฟ้า ของวัสดุผสมแบบ 0-3 ในระบบ PZT-PC

4.4.1 การวิเคราะห์ค่าคงที่ไดอิเล็กทริกและค่าตัวประกอบการสูญเสียทางไดอิ เลกทริกของวัสดุผสมแบบ 0-3 ในระบบ PZT-PC

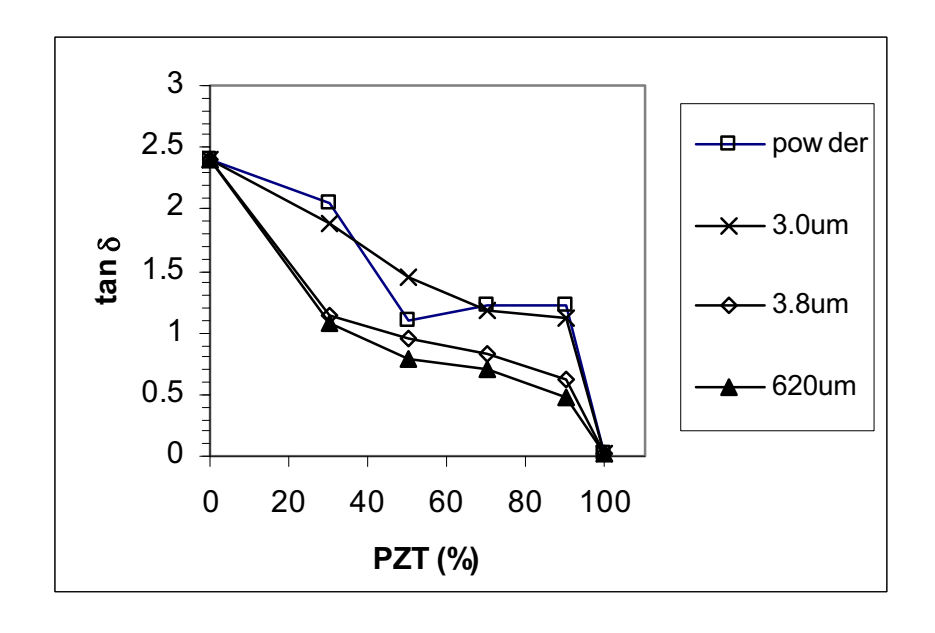
จากการตรวจสอบค่าคงที่ไดอิเล็กทริก ที่อุณหภูมิห้องและความถี่ 1 กิโลเฮริตซ์ของวัสดุ ผสมแบบ 0-3 ในระบบ PZT-PC ที่ปริมาตรเซรามิก PZT 0, 30 ,50, 70, 90 และ 100 % โดย ปริมาตร แสดงผลดังรูป 4.8 และผลกระทบของขนาดอนุภาคต่อค่าคงที่ไดอิเล็กทริกนั้นในวัสดุ ผสมแบบ 0-3 ที่มีปริมาตรเซรามิก PZT ที่50%นั้นสามารถเห็นได้ชัดจากรูป 4.9 ส่วนค่าตัว ประกอบการสูญเสียทางไดอิเลกทริกนั้นผลกระทบของปริมาตรเซรามิก PZT และขนาดอนุภาค ของเซรามิก PZTนั้น แสดงผลดังรูป 4.10 และ 4.11 ตามลำดับ



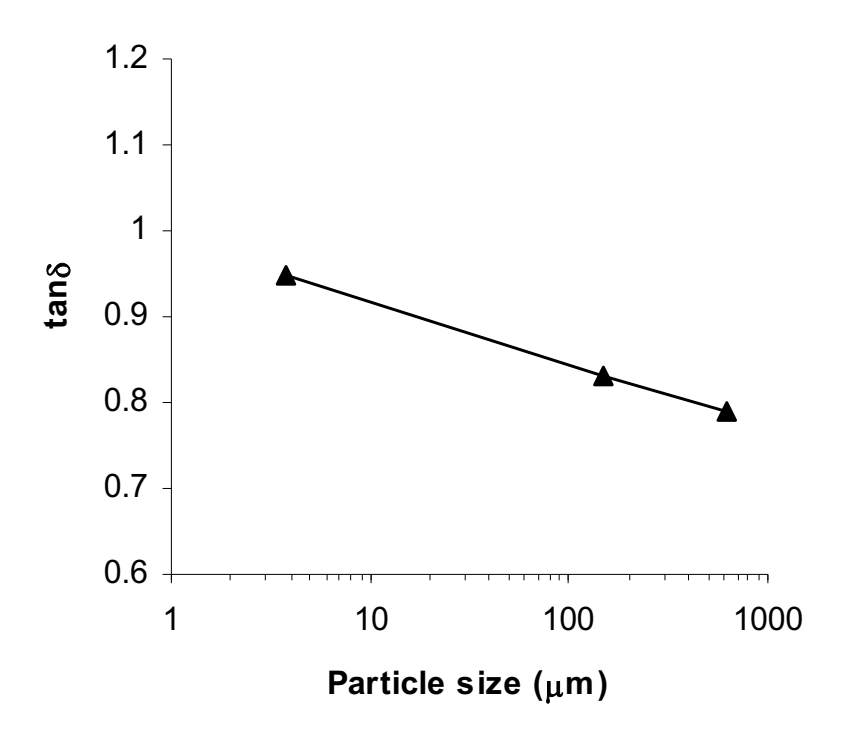
รูป 4.8 ค่าคงที่ไดอิเล็กทริกต่อปริมาตร PZT ของวัสดุผสมแบบ 0-3 ในระบบ PZT-PC



รูป 4.9 ค่าคงที่ไดอิเล็กทริกกับขนาดอนุภาคของเซรามิก PZTของวัสดุผสมแบบ 0-3 ที่มีปริมาตร เซรามิก PZT ที่50%



รูป 4.10 ค่าตัวประกอบการสูญเสียทางไดอิเลกทริก ต่อปริมาตร PZT



รูป 4.11 ค่าตัวประกอบการสูญเสียทางไดอิเลกทริกกับขนาดอนุภาคของเซรามิก PZTที่50%

จากการวิเคราะห์ค่าคงที่ไดอิเล็กทริกของวัสดุผสม PZT-PC ที่อุณหภูมิห้องและความถี่ 1 กิโลเฮริตซ์ พบว่ามีค่าสูงขึ้นเมื่อมีปริมาตรเซรามิก PZT ในระบบเพิ่มขึ้น[10,11,15] แต่จะมีค่าอยู่ ระหว่างค่า สภาพยอมสัมพัทธ์ของเซรามิก PZT ซึ่งมีค่าประมาณ 1000 และปูน PC จะมีค่าคงที่ ไดอิเล็กทริกประมาณ 98 ซึ่งค่าคงที่ไดอิเล็กทริกของวัสดุผสม จะเป็นผลรวมของค่าคงที่ไดอิเล็กท ริกในแต่ละเฟสรวมกันเรียกว่า "sum property" [14] และพบว่ามีค่าสูงสุดเมื่อขนาดอนุภาคที่ใหญ่ ขึ้น (600ไมครอน) เมื่อเทียบกับค่าของวัสดุผสมที่มีขนาดอนุภาค ที่ 3ไมครอน ในสัดส่วนของ PZT ที่เท่ากัน การใช้สัดส่วนปริมาตรเซรามิกโดยปริมาตร (volume fraction) ที่สูงนั้นก็เหมือน กับมีตัว เก็บประจุมาเชื่อมต่อกันมากขึ้นกว่าการใช้สัดส่วนโดยปริมาตรของเซรามิกน้อยๆ จึงทำให้ค่าความ จุที่ได้เพิ่มมากขึ้นจึงส่งผลทำให้ค่าคงที่ไดอิเล็กทริกมีค่าสูงขึ้นตามไปด้วย แสดงว่ามีการกระจาย ตัวที่ดีของเซรามิก PZT ในปูน PC

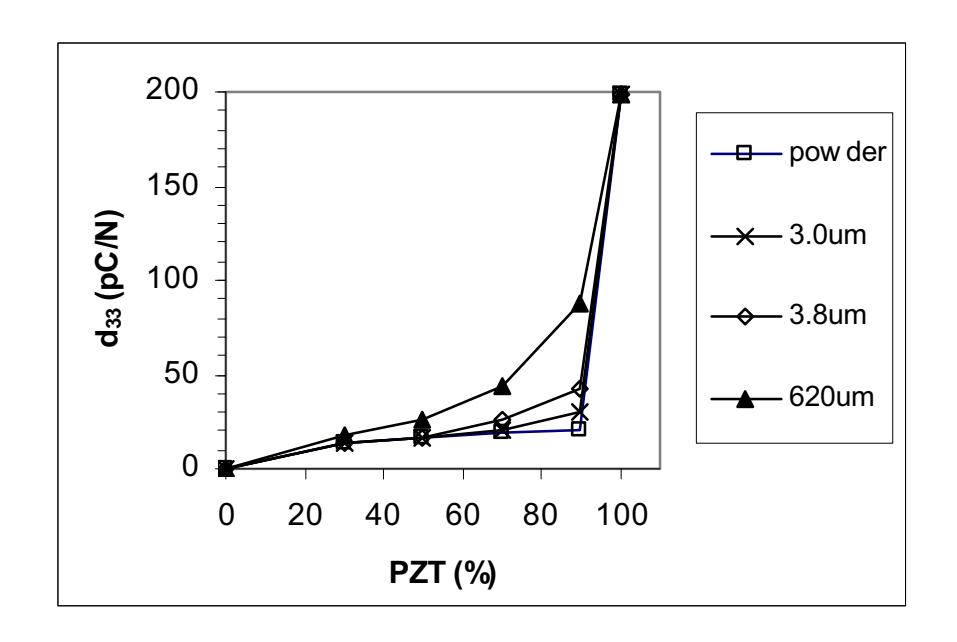
ค่าตัวประกอบการสูญเสียทางไดอิเลกทริก (tan δ) ดังแสดงในรูป 4.11 ซึ่งแสดงค่าตัว ประกอบการสูญเสียทางไดอิเลกทริก (tan δ) พบว่าจะมีค่าลดลงเมื่อปริมาตรเซรามิก PZT เพิ่มขึ้น ในทุกขนาดของอนุภาคที่ใช้ หรือ ในทางกลับกันคือจะมีค่าสูงที่ปริมาตรปูน PC สูงขึ้นนั่นเอง อาจ เป็นไปได้ว่าในโครงสร้างของปูนมีน้ำปนอยู่ซึ่งปูนเป็นสารที่มีรูพรุนสูงดังนั้นความชื้นจาก บรรยากาศภายนอกสามารถถูกดูดซึมเข้าไปในโครงสร้างของปูนได้อย่างต่อเนื่อง ซึ่งน้ำจัดได้ว่า เป็นเฟสตัวนำ (ion conductor) ที่ปนอยู่ในเฟสของปูนซีเมนต์น่าจะเป็นสาเหตุที่ส่งผลทำให้ค่าตัว ประกอบการสูญเสียทางไดอิเลกทริกมีค่าเพิ่มขึ้น

4.4.2 การวิเคราะห์ค่าสัมประสิทธิ์เพียโซอิเลกทริกของวัสดุผสมแบบ 0-3 ใน ระบบ PZT- PC

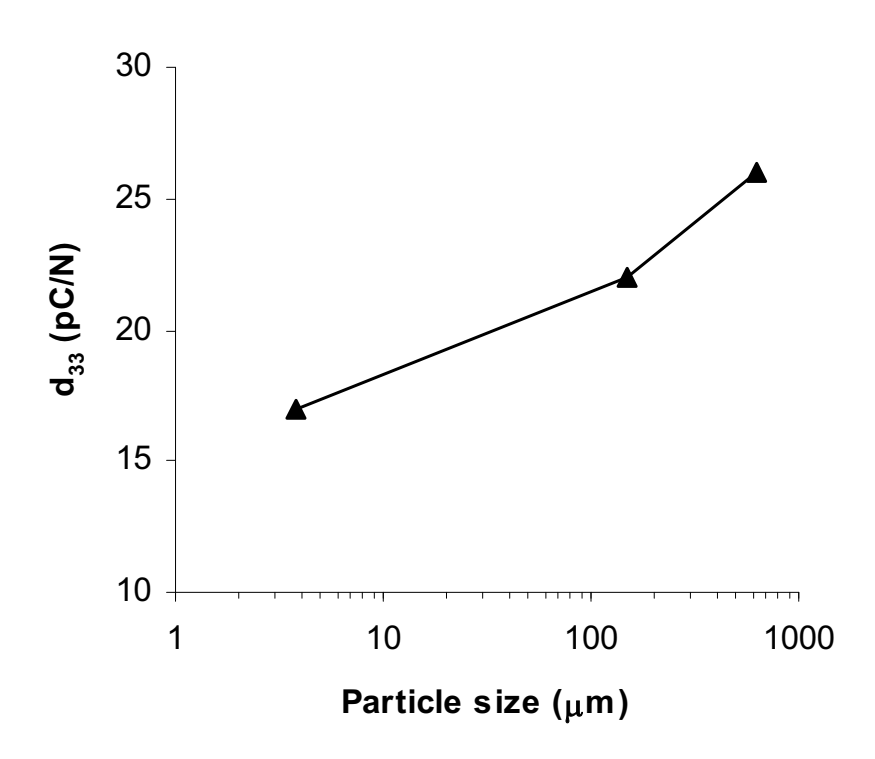
ค่าสัมประสิทธิ์เพียโซอิเลกทริก ของวัสดุผสมแบบ 0-3 ในระบบ PZT-PC ที่ปริมาตรเซรา มิก PZT 0, 30 ,50, 70, 90 และ 100 % โดยปริมาตร หลังจากผ่านกระบวนการโพลที่อุณหภูมิ $130^{\,0}$ ซ ด้วยสนามไฟฟ้า 2 กิโลโวลต์ต่อ1 มิลลิเมตร เป็นเวลา 45 นาที แสดงดังกราฟรูป 4.12

ผลการศึกษาค่าสัมประสิทธิ์เพียโซอิเลกทริก ของวัสดุผสมแบบ 0-3 พบว่า ค่าที่ได้มีค่า สูงขึ้นตามปริมาตร PZT ที่เพิ่มขึ้นในทุกขนาดของอนุภาคและพบว่ามีค่าสูงสุดเมื่อขนาดอนุภาคที่ ใหญ่ขึ้น (620ไมครอน) ซึ่งมีค่าd₃₃ ของวัสดุผสมที่50%PZTอยู่ที่ 26pC/N เมื่อเทียบกับค่าของวัสดุ ผสมที่มีขนาดอนุภาค ที่ 3.8ไมครอน ในสัดส่วนของ PZTที่เท่ากัน (d₃₃ = 14pC/N) ดังแสดงในรูป 4.13 นอกจากนี้ความแตกต่างยังชัดขึ้นอีกด้วยเมื่อปริมาตร PZT สูงขึ้น (รูป 4.12)

ในแต่ละงานวิจัยที่ผ่านๆมาล้วนมีผลสอดคล้องกันที่สนับสนุนผลการทดลองที่ว่าค่า ส้มประสิทธิ์เพียโชอิเลกทริก ของวัสดุผสมแบบ 0-3 ในระบบ PZT-PC พบว่า ค่าที่ได้มีค่าสูงขึ้น ตามปริมาตร PZT ที่เพิ่มขึ้นและมีค่ามากกว่าวัสดุผสมแบบ 0-3 ในระบบ PZT-Polymer [11] ซึ่ง อาจมีหลายเหตุปัจจัยสนับสนุนผลการทดลองพี่ได้ ขนาดอนุภาค ก็มีส่วนสำคัญในการเพิ่มค่า ส้มประสิทธิ์เพียโชอิเลกทริกจากการทดลองพบว่าเซรามิก PZT ที่มีอนุภาคขนาดใหญ่จะมีพื้นที่ผิว ลดลงทำให้มีการเชื่อมต่อกันสูงในอัตราส่วนที่มีปริมาตร PZT สูงๆ ก่อให้เกิดเส้นทางเดินของ กระแสไฟฟ้า (electric flux path) ระหว่างอนุภาคเซรามิก ในระหว่างการโพลทำให้มีค่า ส้มประสิทธิ์เพียโชอิเลกทริกสูงขึ้นและก็อาจเป็นไปได้ที่วัสดุผสมเกิดการผสมกันระหว่างการผสม แบบ 0-3 และ 1-3 ในอัตราส่วนของระบบที่มีปริมาตร PZT สูงๆเนื่องจากการผสมแบบ 1-3 จะมี ส้มประสิทธิ์เพียโชอิเลกทริกสูงกว่าการผสมแบบ 0-3 ซึ่ง N.Jayasundere และคณะ[18] ได้ ทำการศึกษารูปแบบของการผสมระหว่างแบบ 0-3 และ 1-3 เพื่อคำนวณหาค่าส้มประสิทธิ์เพียโชอิเลกทริกสูงกว่าการผสมแบบ 0-3 และ 1-3 เพื่อคำนวณหาค่าส้มประสิทธิ์เพียโชอิเลกทริกสูงกว่าการผสมแบบ 0-3 และ 1-3 เพื่อคำนวณหาค่าส้มประสิทธิ์เพียโชอิเลกทริกเมื่อขนาดของอนุภาคมีขนาดใกล้เคียงกับความหนาของชิ้นงานและมีสัดส่วนโดยปริมาตร สูงๆอยู่ระหว่าง 50-70% ค่าที่ได้จะมีค่าใกล้เคียงกับผลการทดลองที่ได้ ดังนั้นในงานวิจัยนี้จึงได้ เลือกใช้ขนาดอนุภาคเซรามิก PZT ที่มีขนาด≈600 ไมครอน (d₃ ของวัสดุผสมที่50%PZT= 26pC/N) และทำการเตรียมชิ้นงานที่มีความหนาไม่น้อยกว่า 0.6 มิลลิเมตร



รูป 4.12 ค่าสัมประสิทธิ์เพียโซอิเลกทริกต่อปริมาตร PZT ของวัสดุผสม PZT-PC



รูป 4.13 ค่าสัมประสิทธิ์เพียโซอิเลกทริกกับขนาดอนุภาคของวัสดุผสมที่มีเซรามิก PZTที่50%

4.4.3 การวิเคราะห์ค่าสัมประสิทธิ์คู่ควบไฟฟ้าเชิงกล ของวัสดุผสมแบบ 0-3 ใน ระบบ PZT-PC

รูป 4.14 และ 4.15 แสดงค่าความต้านทานไฟฟ้ากับความถี่และค่าเฟสกับความถี่ ตามลำดับ ค่าสัมประสิทธิ์คู่ควบไฟฟ้าเชิงกล electromechanical coupling coefficient (K,) สามารถคำนวณได้จากสมการดังต่อไปนี้

$$K_{t}^{2} = \frac{\pi}{2} \frac{f_{m}}{f_{n}} \tan(\frac{\pi}{2} \frac{f_{n} - f_{m}}{f_{n}})$$
 (3.13)

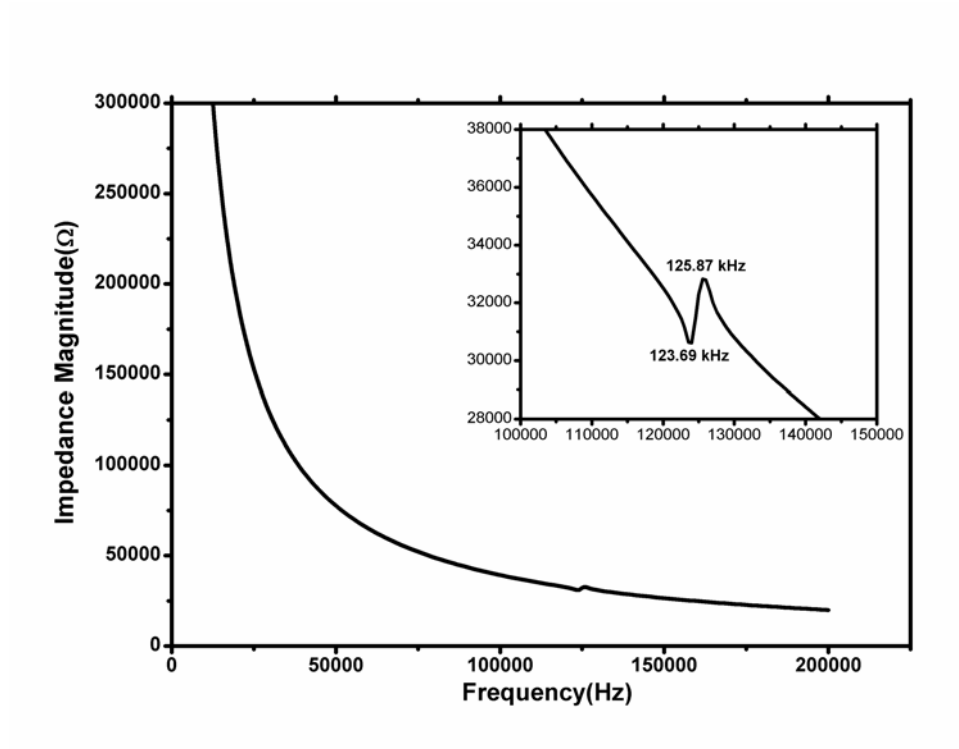
โดยค่า $f_{\scriptscriptstyle m}$ และ $f_{\scriptscriptstyle n}$ คือค่าความถี่ ณ ความต้านทานไฟฟ้าต่ำสุดและสูงสุด ตามลำดับ

ผลการวิเคราะห์ค่าสัมประสิทธิ์คู่ควบไฟฟ้าเชิงกล ของวัสดุผสมแบบ 0-3 ในระบบ PZT-PC ที่ปริมาตรเซรามิก 50 % โดยปริมาตร หลังจากผ่านกระบวนการโพลที่อุณหภูมิ 130 ⁰ช ด้วย สนามไฟฟ้า 2 กิโลโวลต์ต่อ1 มิลลิเมตร เป็นเวลา 45 นาที แสดงดังตาราง 4.3

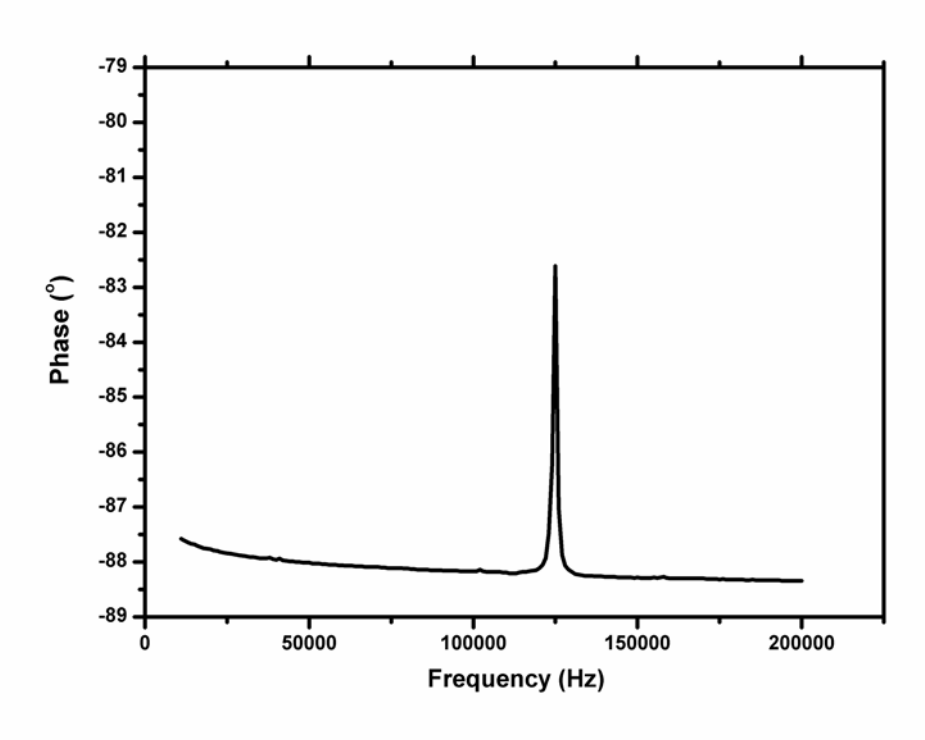
ตาราง 4.3 ค่าสัมประสิทธิ์คู่ควบไฟฟ้าเชิงกล ของวัสดุผสมแบบ 0-3 ในระบบ PZT-PC

| สารตัวอย่าง | อัตราส่วน PZT-PC | ค่าสัมประสิทธิ์คู่ควบไฟฟ้า เซิงกล ,K, (%) |
|-------------|---------------------|--|
| 50%PZT | 50:50 | 20.51 |

จากผลการทดลองข้างต้นพบว่าค่าสัมประสิทธิ์คู่ควบไฟฟ้าเชิงกล (K_i) ของวัสดุผสม PZT-PC มีค่า 20.51 % ซึ่งมีค่าสัมประสิทธิ์คู่ควบไฟฟ้าเชิงกลสูงกว่าของวัสดุผสม PZT-PC อื่นๆที่ผ่าน มาในอดีตสำหรับ PZT ที่ปริมาตรเท่ากัน (ร้อยละ50) นอกจากนี้ ค่า K_i นี้มีค่ามากกว่า 15% ซึ่ง หมายความว่ามีสมบัติในการเปลี่ยนพลังงานไฟฟ้าไปเป็นพลังงานกลและเปลี่ยนพลังงานกลไป เป็นพลังงานไฟฟ้าที่ดีและสามารถที่จะนำไปใช้งานได้จริง



รูป 4.14 แสดงค่าความต้านทานไฟฟ้ากับความถี่ของของวัสดุผสมที่มีเซรามิก PZTที่50%



รูป 4.15 แสดงค่าเฟสกับความถี่ของวัสดุผสมที่มีเซรามิก PZTที่50%

4.5 ผลการตรวจสอบสมบัติเชิงกล ของวัสดุผสมแบบ 0-3 ในระบบ PZT-PC

จากการเตรียมชิ้นงานโดยการอัดขึ้นรูป วัสดุผสมแบบ 0-3 ในระบบ PZT-PCด้วยแรง 1 ตันในแบบทรงลูกบาศก์เพื่อให้มีขนาด 10x10x10 มิลลิเมตร และหลังจากนำชิ้นงานไปผ่าน กระบวนการการเกิดไฮเดรชั่นของปูนซีเมนต์โดยการนำไปแช่ในเครื่องควบคุมอุณหภูมิแบบอ่างที่มี ความชื้นเกือบ 100 เปอร์เซ็นต์เป็นเวลา 3 วัน เพื่อช่วยในการแข็งตัวของวัสดุผสมแล้ว จากนั้นจึง นำไปทดสอบกำลังอัดซึ่งผลการทดลองที่ได้แสดงผลดังตาราง 4.4

ตาราง 4.4 ค่ากำลังอัดของวัสดุผสมแบบ 0-3 ในระบบ PZT-PC

| สารตัวอย่าง | อัตราส่วน PZT-PC | ค่ากำลังอัด (MPa) |
|-------------|---------------------|-------------------|
| 50%PZT | 50:50 | 58.0 |

จากผลการทดลองที่ได้พบว่าค่ากำลังอัดของวัสดุผสมแบบ 0-3 ในระบบ PZT-PC ที่ 50%PZT มีค่าเท่ากับ 58.0 MPa ซึ่งโดยปกติแล้วถือว่าเป็นค่าสูงและอยู่ในช่วงการใช้งานของ คอนกรีตเนื่องจากมีค่าที่ใกล้เคียงกับค่าลังอัดของคอนกรีตที่ใช้ในตึกสูง ดังนั้นจึงสามารถที่จะทน แรงกดในกรณีที่นำไปใช้งานจริงในโครงสร้างคอนกรีตของตึกสูง

4.6 ผลการตรวจสอบสมบัติความต้านทานเชิงซ้อนของเสียง (acoustic impedance) ของ วัสดุผสมแบบ 0-3 ในระบบ PZT-PC

ตาราง 4.5 ค่าความต้านทานเชิงซ้อนของเสียงของวัสดุผสมแบบ 0-3 ในระบบ PZT-PC

| สารตัวอย่าง | อัตราส่วน PZT-PC | ค่าความต้านทานเชิงซ้อนของเสียง (Mrayl) |
|-------------|---------------------|---|
| 50%PZT | 50:50 | 10.03 |

จากผลการทดลองที่ได้พบว่าค่าความต้านทานเชิงซ้อนของเสียงของวัสดุผสมแบบ 0-3 ใน ระบบ PZT-PC ที่ 50%PZT (ตาราง 4.5) มีค่าเท่ากับ 10.03 Mrayl ซึ่งมีค่าที่ใกล้เคียงกับค่าความ ต้านทานเชิงซ้อนของเสียงของคอนกรีตที่ใช้ทั่วไป (10 Mrayl) ดังนั้นจึงสามารถที่จะนำไปใช้จับ สัญญาณได้ดี

บทที่ 5 สรุปผลทดลองและข้อเสนอแนะ

5.1 สรุปผลการทดลอง

- ค่าความหนาแน่น ของวัสดุผสม PZT-PC จะมีค่าเพิ่มขึ้นเมื่อปริมาณ PZT ในระบบ เพิ่มขึ้น ซึ่งจะมีค่าความหนาแน่นของวัสดุผสมต่ำสุดและสูงสุดที่ปริมาณ PZT คือ 30 และ 90 % โดยปริมาตร เท่ากับ 2.71 และ 7.14 g/cm³
- เฟสของเซรามิก PZT กับ เฟสของ ปูน PC (cement matrix) แสดงให้เห็นถึงการยึดเกาะ กันและการผสมผสานที่ดี จากรูปถ่ายกล้องจุลทรรศน์อิเล็กตรอนแบบส่องกราด มีการ เกิดปฏิกิริยาไฮเดรชั่นของปูนซีเมนต์ปอร์ตแลนด์ขึ้นอย่างเห็นได้ชัด โดยมีแคลเซียมซิลิ เกตไฮเดรต (CSH) ที่มีลักษณะคล้ายเส้นใยเล็กๆพันกันไปมา และ เอทาในท์ (Ettringite) ที่มีลักษณะคล้ายแท่งเข็มล้อมรอบ PZT
- ค่าคงที่ไดอิเล็กทริก($\mathbf{\epsilon}$,) ที่อุณหภูมิห้อง และความถี่ 1 กิโลเฮริตซ์พบว่ามีค่าสูงขึ้นเมื่อมี ปริมาตรเซรามิก PZT ในระบบเพิ่มขึ้น คือ ที่ปริมาณ PZT ในระบบเท่ากับ 30-90% โดย ปริมาตร จะได้ค่า $\mathbf{\epsilon}$, อยู่ในช่วง 108.09-536.28 ส่วนค่าตัวประกอบการสูญเสียทางไดอิ เลกทริก (tan δ) พบว่ามีค่าลดลงเมื่อปริมาตรเซรามิก PZT เพิ่มขึ้น
- ค่าสัมประสิทธิ์เพียโซอิเลกทริก ของวัสดุผสมแบบ 0-3 ในระบบ PZT-PC หลังจากผ่าน กระบวนการโพลที่อุณหภูมิ 130 ° ซ ด้วยสนามไฟฟ้า 2 กิโลโวลต์ต่อ1 มิลลิเมตร เป็นเวลา 45 นาที พบว่า ค่าที่ได้มีค่าสูงขึ้นตามปริมาตรเซรามิก PZT ที่เพิ่มขึ้นคือ ที่ปริมาตรเซรา มิก PZT ในระบบเท่ากับ 30-90% ได้ค่า d₃₃ อยู่ในช่วง 18-87 pC/N ตามลำดับ
- ผลการวิเคราะห์ค่าสัมประสิทธิ์คู่ควบไฟฟ้าเชิงกล ของวัสดุผสมแบบ 0-3 ในระบบ PZT-PC ที่ปริมาตรเซรามิก 50 % โดยปริมาตร หลังจากผ่านกระบวนการโพลที่อุณหภูมิ 130 ⁰ ซ ด้วยสนามไฟฟ้า 2 กิโลโวลต์ต่อ1 มิลลิเมตร เป็นเวลา 45 นาที พบว่าค่าสัมประสิทธิ์คู่ ควบไฟฟ้าเชิงกล (K_i) ของวัสดุผสม PZT-PC มีค่า 20.51 % ซึ่งมีค่าสัมประสิทธิ์คู่ควบ ไฟฟ้าเชิงกลสูงกว่าของวัสดุผสม PZT-PC อื่นๆที่ผ่านมาในอดีตสำหรับ PZT ที่ปริมาตร เท่ากัน (ร้อยละ50) นอกจากนี้ ค่า K_i นี้มีค่ามากกว่า 15% ซึ่งหมายความว่ามีสมบัติใน การเปลี่ยนพลังงานไฟฟ้าไปเป็นพลังงานกลและเปลี่ยนพลังงานกลไปเป็นพลังงานไฟฟ้าที่ ดีและสามารถที่จะนำไปใช้งานได้จริง

- ค่ากำลังอัดของวัสดุผสมแบบ 0-3 ในระบบ PZT-PC ที่ 50%PZT มีค่าเท่ากับ 58.0 MPa ซึ่งโดยปกติแล้วถือว่าเป็นค่าสูงและอยู่ในช่วงการใช้งานของคอนกรีตเนื่องจากมีค่าที่
 ใกล้เคียงกับค่าลังอัดของคอนกรีตที่ใช้ในตึกสูง ดังนั้นจึงสามารถที่จะทนแรงกดในกรณีที่ นำไปใช้งานจริงในโครงสร้างคอนกรีตของตึกสูง
- จากผลการทดลองที่ได้พบว่าค่าความต้านทานเชิงซ้อนของเสียงของวัสดุผสมแบบ 0-3 ใน ระบบ PZT-PC ที่ 50%PZT มีค่าเท่ากับ 10.03 Mrayl ซึ่งมีค่าที่ใกล้เคียงกับค่าความ ต้านทานเชิงซ้อนของเสียงของคอนกรีตที่ใช้ทั่วไป (10 Mrayl) ดังนั้นจึงสามารถที่จะ นำไปใช้จับสัญญาณได้ดี

5 2 ข้อเสนอแนะ

จากผลการวิจัยที่ได้พบว่ายังมีประเด็นปัญหาและข้อสงสัยที่น่าสนใจอีกมากมายที่ ต้องการการศึกษาเพิ่มเติมอย่างละเอียด โดยเฉพาะความสัมพันธ์ของปัจจัยต่างๆที่เป็นแนวทางใน การนำไป สู่การพัฒนาวัสดุผสมพีโซอิเล็กทริกให้มีประสิทธิภาพดียิ่งขึ้น เช่น

- 1. การศึกษาถึงแบบการผสมอื่นๆนอกเหนือจากการผสมแบบ 0-3 เช่น 1-3 2-2 หรือ 3-3 เป็นต้น ว่ามีผลต่อสมบัติต่างหรือไม่อย่างไร
- 2.ควรจะมีการศึกษาเพิ่มเติมถึงผลของระยะเวลาต่อค่าของสัมประสิทธ์เพียโซอิเล็กทริก หลังจากผ่านการโพลแล้วในเชิงลึกหลังจากการโพลแล้ว

เอกสารอ้างอิง

- [1] Li, Z., Zhang, D and Wu, K. Cement-Based 0-3 piezoelectric composites. *J. Am. Ceram. Soc.*2002; 85 : 305-13
- [2] Huang, S., Chang, J., Xu, R., Liu, F., Lu, L., Ye, Z and Cheng, X.Piezoelectric properties of 0-3 PZT/sulfoaluminate cement composites. *Smart Mater. Struct.* 2004;13: 270-274.
- [3] Li, Z., Dong, B., Zhang, D. Influence of polarization on properties of 0–3 cement-based PZT composites. *Cement & Concrete Compo.* 2005; 27: 27-32.
- [4] Dong, B., Li, Z. Cement-based piezoelectric ceramic smart composites. Compo Sci and Tech,2005; 65:1363-1371.
- [5] Huang, S., Chang, J., Lu, L., Liu, F., Ye, F and Cheng, X. Preparation and polarization of 0-3 cement based Piezoelectric composites. *Mat Res Bull.* 2006; 41: 291-297.
- [6] Haertling, G.H. Ferroelectric Ceramics: History and Technology. *J. Am. Ceram.* Soc.1999; 82:797-818.
- [7] Moulson, A. J. and Herbert. J. M. "Electroceramics: Materials Properties-Application" 2nd ed. Chapman and Hall., London, pp.135-402, 1990.
- [8] Safari A., Panda R.K. and Janas V.F., Ferroelectric ceramics: Processing, properties and application, Appl. Ferro. Ceram. Mater., 2000, 1-47.

- [9] http://pioneer.netserv.chula.ac.th/~psuvanch/101-49-2-Celect.pdf
 (10 March2007).
- [10] Xu, Y. Ferroelectric Material and Their Applications. Los Angeles: NORTH-HOLLAND., 1991.
- [11] Bhalla, A.S., Guo, R and Roy, R. The perovskite structure-a review of its role in ceramic science and technology. *Mat Res Innovat*. 2000; 4: 3-26.
- [12] ชัชวาลย์ เศรษฐบุตร, Concrete Technology, CPAC, พิมพ์ครั้งที่ 4, พ.ศ. 2540.
- [13] Mindess S. and Young J.F., Concrete, 1981.
- [14] Lea's, Chemistry of Cement and Concrete, 4th Edition, Butterworth, 1998.
- [15] ปริญญา จินดาประเสริฐ, ชัย จาตุรพิทักษ์กุล, ปูนซีเมนต์, ปอชโซลาน และ คอนกรีต, , สมาคมคอนกรีตไทย, พ.ศ. 2547
- [16] Neville A.M., Properties of concrete, Fourth edition, Longman Publishing, 1995.
- [17] Sa-Gong, G., Safari, A., Jang, S.J. and Newnham, R.E. Poling Flexible Piezoelectric composites. *Ferro Let.* 1986; 5:131-142.

OUTPUTS (ผลงานตีพิมพ์)

สัญญาเลขที่ MRG4880031

โครงการ การพัฒนาวัสดุผสมใหม่มาใช้ในงานโครงสร้าง ชื่อหัวหน้าโครงการ อ.คร.อานนท์ ชัยพานิช

ผลงานตีพิมพ์ในวารสารระดับนานาชาติ

- 1 **Chaipanich A.**, Jaitanong N. and Tunkasiri T., Fabrication and properties of PZT-ordinary Portland cement composites, Mater. Lett., In press (Impact factor=1.299). ภาคผนวก 1
- 2 Chaipanich A., Effect of PZT particle size on dielectric and piezoelectric properties of PZT-cement composites, Curr. Appl. Phys., 2007, 7 (5), 574-577 (Impact factor=1.00).
- 3 **Chaipanich A.**, Dielectric and Piezoelectric Properties of PZT-Cement Composites, Curr. Appl. Phys., 2007, 7 (5), 532-536 (Impact factor=1.00). ภาคผนวก 3
- 4 **Chaipanich A.**, Dielectric and Piezoelectric Properties of PZT-Silica Fume Cement Composites, Curr. Appl. Phys., 2007, 7 (5), 537-539 (Impact factor=1.00). ภาคผนวก 4
- 5 **Chaipanich A.** and Tunkasiri T., Microstructure and Properties of Pb(Mg_{1/3}Nb_{2/3})O₃-Portland Cement Composites, Curr. Appl. Phys., 2007, 7, 285-288 (Impact factor=1.00). ภาคผนวก 5
- 6 **Chaipanich A.** and Tunkasiri T., Effect of milling time on the properties of Pb(Mg_{1/3}Nb_{2/3})O₃ ceramics using the starting precursors PbO and MgNb₂O₆, Curr. Appl. Phys., 2007, 7, 281-284 (Impact factor=1.00) ภาคพนวก 6
- 7 Chaipanich A. and Jaitanong N., Effect of age on the piezoelectric coefficient of 0.6PZT-0.4Cement Composite, Curr. Appl. Phys., Submitted (Impact factor=1.00). ภาคผนวก 7
- 8 Jaitanong N., **Chaipanich A.** and Tunkasiri T., Properties of 0-3 PZT-Portland Cement Composites, Ceram. Int., Submitted (Impact factor=0.702). ภาคผนวก 8
- 9 **Chaipanich A.,** Jaitanong N. and Tunkasiri T., Effect of curing time on the dielectric properties of PZT-Portland Cement Composites, Ceram. Int., Submitted (Impact factor=0.702). ภาคผนวก 9

ผลงานตีพิมพ์ในวารสารระดับชาติ

- 1. Jaitanong N., Chaipanich A. and Tunkasiri T., Dielectric Properties of PMN-BNT ceramics, KMITL Science Journal, 2006, Vol. 6, No.1, pp. 25-29. ภาคผนวก 10
- 2. Nochaiya T., Chaipanich A., Singjai P. and Tunkasiri T., Effect of 3 M HNO3 on Carbon Nanotubes as detected by XRD, KMITL Science Journal, 2006, Vol. 6, No.1, pp. 25-29.
- Chaipanich A. Utilization of Industrial By-products as Cement Replacement Materials in Thailand, Chiang Mai University Journal, Special issue on nanotechnology, November 2005, Vol.4, pp.125-128. ภาคมนาก 12
- Chaipanich A. Silica Fume: Its Role in Cement and Concrete Technology, Chiang Mai University Journal, Special issue on nanotechnology, November 2005, Vol.4, pp.121-124.
- Chaipanich A. and Tunkasiri T., Effect of Particle Size of Starting Powders on the Properties of Pb(Mg_{1/3}Nb_{2/3})O₃ Ceramics, Chiang Mai Journal of Science, September 2005, Vol. 32 No.3, pp.315-321. ภาคผนวก 14

ผลงานที่เสนอในที่ประชุมวิชาการระดับนานาชาติ

 Chaipanich A. and Jaitanong N., Effect of age on the piezoelectric coefficient of 0.6PZT-0.4Cement Composite after polarization, AMN3 3rd International Conference on Advanced Materials and Nanotechnology, 11-16 February 2007, Wellington, New Zealand.

ภาคผนวก 15

- 2. Jaitanong N., **Chaipanich A.** and Tunkasiri T., Properties of 0-3 PZT-Portland Cement Composites, Asian Meeting on Electroceramics (AMEC5), 10-14 December, 2006, Central Plaza Hotel, Bangkok ภาคผนวก 16
- 3. Chaipanich A., Jaitanong N. and Tunkasiri T., Effect of curing time on the dielectric properties of PZT-Portland Cement Composites, Asian Meeting on Electroceramics (AMEC5), 10-14 December, 2006, Central Plaza Hotel, Bangkok ภาคผนวก 17
- 4. Chaipanich A. and Tunkasiri T., Ferroelectric Pb(Mg1/3Nb2/3)O3: effects of (MgCO3)4Mg(OH)2.5(H2O) and milling time, Asia-Pacific Conference of Transducers and Micro-Nano Technology, Marina Mandarin Hotel, Singapore, 25-28 June 2006, Singapore.
- Jaitanong N., Chaipanich A. and Tunkasiri T., Dielectric Properties of PMN-BNT ceramics, KMITL International Conference on Science and Applied Science, 8-10 March 2006, Swissotel Le Concorde, Bangkok. ภาคพนวก 19

Expert Commentary (Invitation)

 Chaipanich A., Cementing the Future: A review of past, present and future use of cement and its combination with piezoelectric PZT ceramic, Nova Science Publisher, In preparation to be published. ภาคผนวก 20